


سلسلة محكمة دورية تصدرها الجمعية الجغرافية السعودية

٧٣



تقدير الصيب اليومي الأقصى
للسيول بحوض وادي الكبير
الرمال (التل الشرقي - الجزائر)

د. محمد بن فضيل بوروبة

بحوث جغرافية

سلسلة محكمة دورية تصدرها الجمعية الجغرافية السعودية

٧٣

تقدير الصبيب اليومي الأقصى
للسيول بحوض وادي الكبير
الرمال (التل الشرقي - الجزائر)

د. محمد بن فضيل بوروية

جامعة الملك سعود - الرياض - المملكة العربية السعودية

١٤٢٦هـ - ٢٠٠٥م





ISSN 1018-1423

Key title =Drasat Gugrafiyya

● مجلس إدارة الجمعية الجغرافية السعودية ●

أ.د. محمد شوقي بن إبراهيم مكّي	رئيس مجلس الإدارة.
د. محمد بن صالح الريدي	نائب رئيس مجلس الإدارة.
د. عبد الله بن حمد الصليح	أمين السر.
د. محمد بن عبد الله الفاضل	أمين المال.
د. محمد بن عبد الحميد مشخص	رئيس وحدة البحوث والدراسات
د. عنيرة بنت خميس بلال	محررة النشرة الجغرافية
أ.د. علي بن محمد شيان العريشي	عضو مجلس الإدارة.
د. معراج بن نواب مرزا	عضو مجلس الإدارة.
أ. محمد بن أحمد الراشد	عضو مجلس الإدارة.

ح الجمعية الجغرافية السعودية، ١٤٢٦هـ

فهرسة مكتبة الملك فهد الوطنية أثناء النشر
بوروبه ، محمد فضيل
تقدير الصييب اليومي الأقصى بحوض وادي الكبير الرمال : التل الشرقي - الجزائر . / محمد
فضيل بوروبه - الرياض ، ١٤٢٦هـ
٨٣ ص ؛ ١٧×٢٤سم - (سلسلة بحوث جغرافية ؛ ٧١).
ردمك: ٩٩٦٠-٩٦١٠-٦٠-٠
١- السيول- الجزائر ٢- الأمطار - الجزائر أ.العنوان ب. السلسلة
ديوي ٥٥١,٣٥ ١٤٢٦/٤٣٩٥
رقم الإيداع: ١٤٢٦/٤٣٩٥
ردمك: ٩٩٦٠-٩٦١٠-٦٠-٠

قواعد النشر

- ١- يُراعى في البحوث التي تتولى سلسلة "بحوث جغرافية"، نشرها، الأصالة العلمية وصحة الإخراج العلمي وسلامة اللغة .
 - ٢- يشترط في البحث المقدم للسلسلة ألا يكون قد سبق نشره من قبل.
 - ٣- ترسل البحوث باسم رئيس هيئة تحرير السلسلة .
 - ٤- تقدم جميع الأصول مطبوعة على نظام MS WORD ببيئات النوافذ (Windows) على ورق بحجم A4، مع مراعاة أن يكون النسخ على وجه واحد، ويترك فراع ونصف بين كل سطر وآخر بخط AL-Hotham للمتن وبالخط Monotype Koufi للعناوين، وبنط ١٦ أبيض للمتن وبنط ١٢ أبيض للهوامش (بنط أسود للآيات القرآنية والأحاديث الشريفة). ويمكن أن يكون الحد الأعلى للبحث [٧٥] صفحة، والحد الأدنى [١٥] صفحة.
 - ٥- يرسل أصل البحث مع صورتين وملخص في حدود (٢٥٠) كلمة باللغتين العربية والإنجليزية.
 - ٦- يُراعى أن تقدم الأشكال مرسومة بالحبر الصيني على ورق (كلك) مقاس ١٣×١٨ سم، وترفق أصول الأشكال بالبحث ولا تلتصق على أماكنها .
 - ٧- ترسل البحوث الصالحة للنشر والمختارة من قبل هيئة التحرير إلى محكمين اثنين -على الأقل- في مجال التخصص من داخل أو خارج المملكة قبل نشرها في السلسلة.
 - ٨- تقوم هيئة تحرير السلسلة بإبلاغ أصحاب البحوث بتاريخ تسلم بحوثهم. وكذلك إبلاغهم بالقرار النهائي المتعلق بقبول البحث للنشر من عدمه مع إعادة البحوث غير المقبولة إلى أصحابها.
 - ٩- يمنح كل باحث أو الباحث الرئيسي لمجموعة الباحثين المشتركين في البحث خمساً وعشرين نسخة من البحث المنشور .
 - ١٠- تطبق قواعد الإشارة إلى المصادر وفقاً للآتي :
- يستخدم نظام (اسم / تاريخ) ويقتضي هذا النظام الإشارة إلى مصدر المعلومة في المتن بين قوسين باسم المؤلف متبوعاً بالتاريخ ورقم الصفحة. وإذا تكرر المؤلف نفسه في مرجعين مختلفين يذكر اسم المؤلف ثم يتبع بسنة المرجع ثم رقم الصفحة. أما في قائمة المراجع فيستوجب ذلك ترتيبها هجائياً حسب نوعية المصدر كالتالي :

الكتب يذكر اسم العائلة للمؤلف (المؤلف الأول إذا كان للمرجع أكثر من مؤلف واحد) متبوعاً بالأسماء الأولى، ثم سنة النشر بين قوسين، ثم عنوان الكتاب، فرقم الطبعة -إن وجد- ثم الناشر، وأخيراً مدينة النشر .

الدوريات يذكر اسم عائلة المؤلف متبوعاً بالأسماء الأولى، ثم سنة النشر بين قوسين، ثم عنوان المقالة، ثم عنوان الدورية، ثم رقم المجلد، ثم رقم العدد، ثم أرقام صفحات المقال، (ص ص ٥-١٥).

الكتب المحررة يذكر اسم عائلة المؤلف متبوعاً بالأسماء الأولى، ثم سنة النشر بين قوسين، ثم عنوان الفصل، ثم يكتب (في in) تحتها خط، ثم اسم عائلة المحرر متبوعاً بالأسماء الأولى، وكذلك بالنسبة للمحررين المشاركين، ثم (محرر ed. أو محررين eds.) ثم عنوان الكتاب، ثم رقم المجلد، فرقم الطبعة، وأخيراً الناشر، فمدينة النشر .

الرسائل غير المنشورة يذكر اسم عائلة المؤلف متبوعاً بالأسماء الأولى، ثم سنة الحصول على الدرجة بين قوسين، ثم عنوان الرسالة، ثم يحدد نوع الرسالة (ماجستير/دكتوراه)، ثم اسم الجامعة والمدينة التي تقع فيها .

أما الهوامش فلا تستخدم إلا عند الضرورة القصوى وتخصص للملاحظات والتطبيقات ذات القيمة في توضيح النص.

تعريف بالباحث: محمد بن فضيل بوروية، أستاذ مشارك، قسم الجغرافيا - كلية الآداب - جامعة الملك سعود، الرياض.

ملخص

إن الهدف من هذه الدراسة هو تقدير الصيب اليومي الأقصى للسيول بالحوض الهيدروغرافي لوادي الكبير الرمال الذي يمتد على مساحة تصريف تقدر بحوالي ٨٨١٥ كلم^٢، وذلك اعتمادا على قياسات الأمطار اليومية القصوى المسجلة خلال الفترة الممتدة من ١ يناير ١٩٦١ إلى ٣١ ديسمبر ٢٠٠١م بمجموع ٢١ محطة لقياس الأمطار.

ويقدم هذا البحث ٣ طرق كمية لتقدير الصيب اليومي الأقصى للسيول هي:

١- طريقة تورازا Turazza المناسبة:

أ- لتقدير الصيب اليومي الأقصى للسيول على مستوى الأحواض المائية الجزئية.

ب- لتقدير الصيب اليومي الأقصى للسيول المناسب لمعامل الجريان السطحي ٠,٥ و ٠,٦ و ٠,٧ و ٠,٨ و ٠,٩.

ج- لتقدير الصيب اليومي الأقصى المناسب لفترات الرجوع سنتين و ٥ سنوات و ١٠ سنوات و ٥٠ سنة و ١٠٠ سنة.

٢- طريقة مالي - قوتيه Mallet-Gautier المناسبة لتقدير الصيب اليومي الأقصى للسيول لفترات الرجوع سنتين و ٥ سنوات و ١٠ سنوات و ٥٠ سنة و ١٠٠ سنة اعتمادا على المعدل السنوي للأمطار بالأحواض الجزئية.

٣- طريقة بوسنتي Possenti المناسبة لتقدير الصيب اليومي الأقصى للسيول بمجموع مساحة التصريف لحوض وادي الكبير الرمال.

وقد أبرزت هذه الدراسة التباينات المكانية للصيب اليومي الأقصى وحجم وقوة الفيضانات مع إمكانية تطبيق نموذجي تورازا ومالي - قوته نظرا لتقارب تقديراتهما مع كميات الصيب اليومي الأقصى المقاس مع مراعاة فترة الرجوع ومعامل الجريان على مستوى الأحواض الجزئية المدروسة وإمكانية تطبيق نموذجي بوسنتي وتورازا نظرا لتقارب تقديراتهما مع كميات الصيب اليومي الأقصى على مستوى إجمالي مساحة التصريف للحوض الهيدرولوجرافي لوادي الكبير الرمال.

مقدمة

تعاني مختلف الأحواض المائية بشمال الجزائر من تأثيرات مياه السيول والفيضانات التي تميز الفترات المطيرة من السنة (نوفمبر-أبريل)، ومن تأثيرات تلك التي تصاحب فترات الأمطار الرعدية خلال الفصل الحار من السنة (مايو-أكتوبر). وتتعرض مختلف تضاريس الأحواض التلية وأحواض الهضاب العليا بانتظام لتأثيرات مياه السيول، مما يعقد عملية القياس والمتابعة للتغيرات الزمنية والمكانية للسيول لأخذ التدابير الضرورية للاحتياط والاستفادة من الموارد المائية لها. ووجود محطات هيدرومترية على مصبات الأودية الرئيسة ضرورة لأهميتها في التنبؤ بالفيضانات وحجم التصريف الكلي للأحواض ولكن حوضا كبيرا كحوض وادي الرمال الكبير لا يوجد به سوى سبع محطات هيدرومترية لقياس السيول والتصريف اليومي للأودية الرئيسة، ومن ثم فإن استخدام طرائق بديلة أو مكملة للقياسات من المحطات الهيدرومترية يعد مطلبا ملحا.

ولذا فإن هذه الدراسة تقدم منهجية علمية لتقدير الصيب اليومي الأقصى للفيضانات باستخدام قياسات الأمطار اليومية القصوى المصاحبة للسيول والفيضانات والمسجلة بمختلف المحطات المناخية الكائنة بالأحواض الجزئية المغذية لحوض وادي الكبير الرمال الذي يمتد على مساحة تصريف تقدر بحوالي ٨٨١٥ كلم^٢.

منطقة الدراسة:

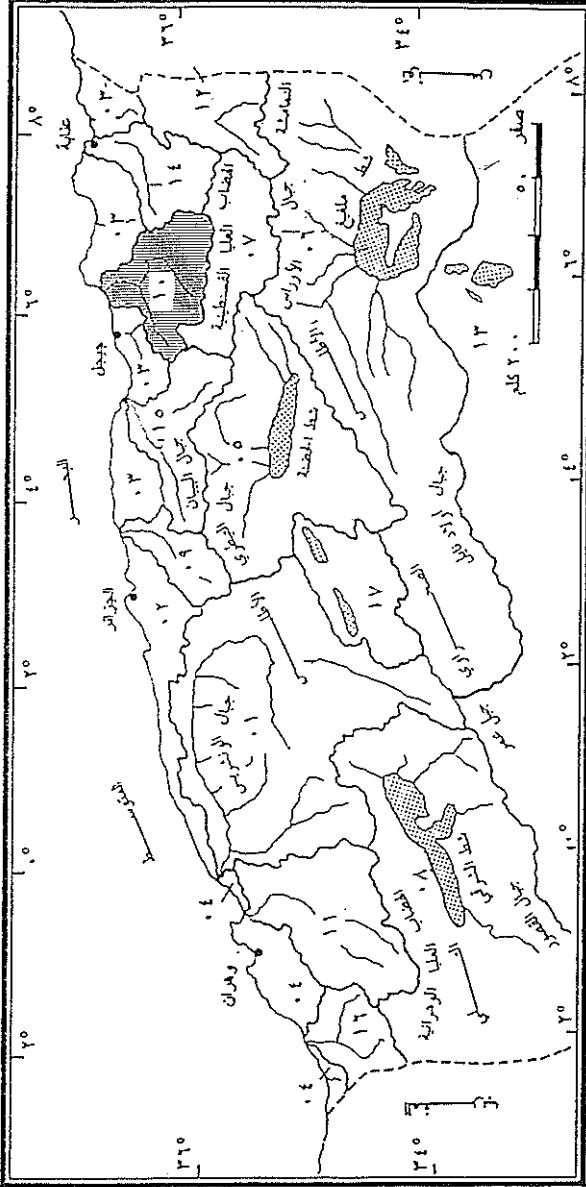
يقع الحوض الهيدروغرافي لوادي الكبير الرمال بين تضاريس التل الشرقي، في شمال شرق الجزائر، بمساحة تصريف تقدر بحوالي ٨٨١٥ كلم^٢ محصورة بين خطي طول 5°32' و 7°00' شرقا ودائرتي عرض 35°48' و 36°51' شمالا. ويحده من الشمال مياه البحر المتوسط ومن الجنوب أحواض الهضاب العليا القسنطينية، ومن الشرق الأحواض الساحلية القسنطينية الشرقية وحوض السيوس ومن الغرب الأحواض الساحلية القسنطينية الغربية وحوض الصومام (شكل ١).

وتمتد مجاري الشبكة المائية لحوض وادي الكبير الرمال على خمسة أحواض جزئية (شكل ٢)، هي:

- ١- حوض وادي بومرزوق بمساحة تصريف تقدر بحوالي ١٨٧٢ كلم^٢.
- ٢- حوض وادي الرمال سقان بمساحة تصريف تقدر بحوالي ٢٢٣٦ كلم^٢.
- ٣- حوض وادي الرمال سمندو بمساحة تصريف تقدر بحوالي ١٠٩٧ كلم^٢.
- ٤- حوض وادي الكبير النجاة بمساحة تصريف تقدر بحوالي ٢٢٤٩ كلم^٢.
- ٥- الحوض الجزئي السفلي لوادي الكبير الرمال بمساحة تصريف تقدر بحوالي ١٣٦١ كلم^٢.

ويحتوي الحوض الهيدروغرافي لوادي الكبير الرمال على سبع محطات هيدرومترية لقياس الجريان السطحي وإحدى وعشرين محطة لقياس الأمطار تتوزع كالتالي (شكل ٢):

الشكل 1 : الموقع الجغرافي لحوض وادي الكبير الرمال



دليل الأحواض المائية المعتمد لدى الوكالة الوطنية للموارد المائية :

- ٠٠٧ - الهضاب العليا القسنطينية ١٣ - الصحرَاء
- ٠٠٨ - الهضاب العليا الوهرانية ١٤ - السيبوس
- ٠٠٩ - يسر ١٥ - الصومام
- ٠١٠ - الكبير الرمال ١٦ - التافسة
- ٠١١ - مكنة ١٧ - الزهرزور
- ٠١٢ - مجرنة
- ٠٠١ - الشلف
- ٠٠٢ - الأحواض الساحلية الجزائرية
- ٠٠٣ - الأحواض الساحلية القسنطينية
- ٠٠٤ - الحواض الساحلية الوهرانية
- ٠٠٥ - شط الحضنة
- ٠٠٦ - شط ملتقى

- مدينة
- ⊠ حدود دولية
- ⊞ شط أو سبخة
- ⊡ حدود الحوض المائي
- ⊞ مجرى مائي رئيس

المصدر: عمل الباحث.

١) محطة الخروب لقياس صيب وادي بومرزوق بالإضافة إلى ست محطات

لقياس الأمطار هي :

١- محطة عين فكرون.

٢- محطة أولاد ناصر.

٣- محطة عين مليلة.

٤- محطة القراح.

٥- محطة عين عبيد.

٦- محطة الخزوب.

ويتغذى وادي بومرزوق من الروافد التي تصرف السفوح الشمالية للهضاب العليا القسنطينية التي تتشكل أساساً من المارن الكريتاسي والكلس الجوارسي الذي يصل ارتفاعه عند قمة جبل قريون بالجنوب الشرقي لمحوض وادي الكبير الرمال إلى ١٤٠٦ م. ويجري وادي بومرزوق على مساحة تصريف تقدر بحوالي ١٨٧٢ كلم^٢ أي ما يعادل حوالي ٢١,٢٪ من المساحة الإجمالية لمحوض وادي الكبير الرمال.

ويتشكل المجرى الرئيس لوادي بومرزوق من التقاء رافدين رئيسين هما : وادي المالح الذي يجري من الجنوب إلى الشمال ووادي البادرة الذي يجري من الشرق إلى الغرب.

٢) محطة عين سمارة لقياس صيب وادي الرمال سقان نظراً لأنها تمثل إجمالي مساحة التصريف لهذا الوادي بالإضافة إلى خمس محطات لقياس الأمطار

(شكل ٢)، هي :

١ - محطة شلغوم العيد.

٢ - محطة بومالك.

٣ - محطة وادي العثمانية.

٤ - محطة التلاغمة.

٥ - محطة عين سمارة.

يمتد حوض وادي الرمال سقان على مساحة تصريف تقدر بحوالي ٢٢٣٦ كلم^٢، أي ما يعادل حوالي ٢٥,٤٪ من المساحة الإجمالية لحوض وادي الكبير الرمال. ويتغذى وادي الرمال سقان من مياه الروافد التي تنحدر من السفوح الشمالية للمرتفعات القسنطينية. ويتشكل المجرى الرئيس لوادي الرمال سقان من التقاء ثلاثة روافد رئيسة هي: وادي سقان ووادي الرمال اللذان يجريان على تضاريس الهضاب العليا المكونة من الغطاءات الرسوبية الرباعية، ووادي الدكري الذي يجري على صخور تضاريس السفوح الجنوبية للجبال التلية الشرقية ذات التكوين الطيني والمارني الميوليوسيني Mio-Pliocène (الشكل ٣).

٣) محطة سمندو لقياس صيب وادي سمندو بالجزء الأوسط الشرقي من الحوض الهيدروغرافي لوادي الكبير الرمال بالإضافة إلى خمس محطات لقياس الأمطار هي:

١ - محطة زيغود يوسف.

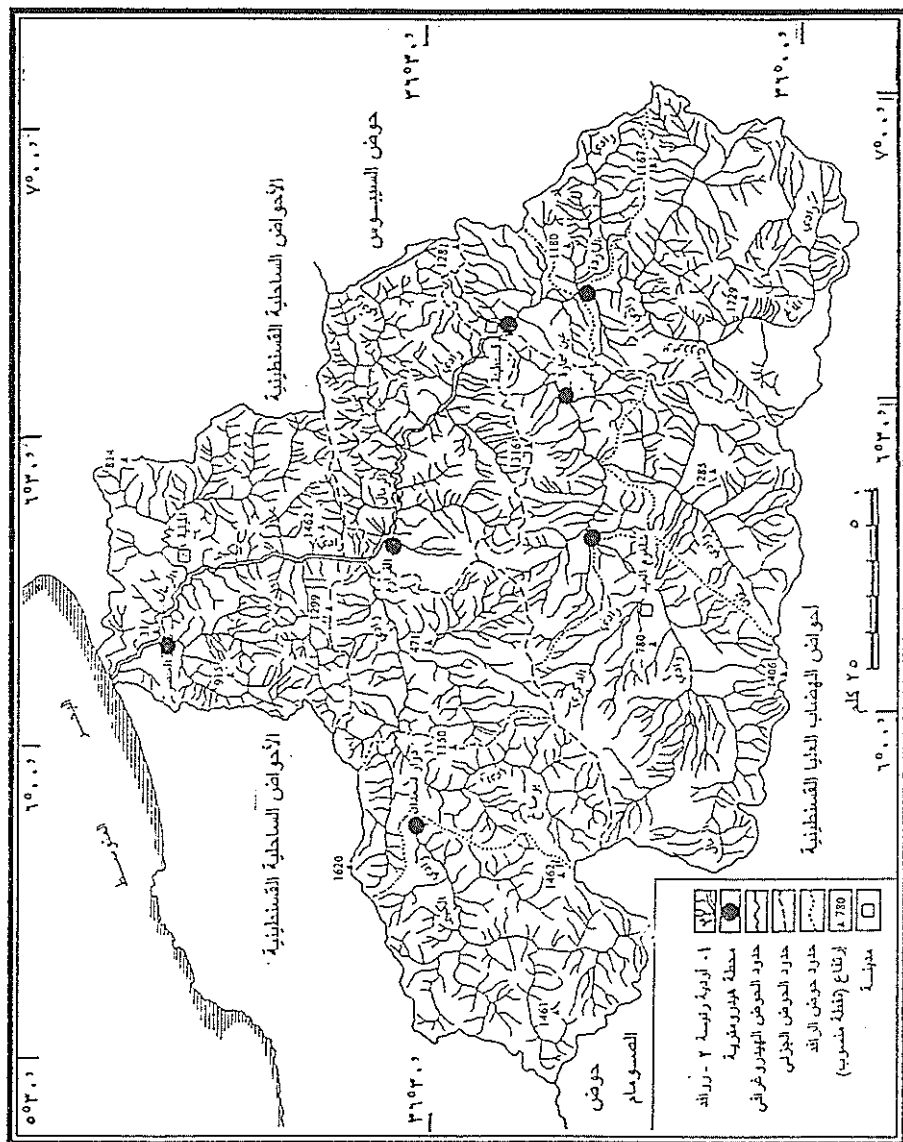
٢ - محطة عين كرامة.

٣ - محطة ميلة.

٤ - محطة قسنطينة.

٥ - محطة ابن زياد.

الشكل 3 : الشبكة الهيدرولوجرافية والمحطات الهيدرومترية لحوض وادي الكبير الرمال



المصدر: عمل الباحث بالإعتماد على الخريطة الطوبوغرافية 1/٢٠٠٠٠٠.

وتغطي الشبكة المائية لحوض وادي سمندو مساحة تصريف تقدر بحوالي ١٠٩٧ كلم^٢، أي ما يعادل تقريباً ١٢,٤٪ من مجموع مساحة التصريف لحوض وادي الكبير الرمال. ويغذي وادي سمندو مجموعة روافد تجري من الشرق إلى الغرب على التكوينات المارنية والطينية الميوليسينية المتوسطة النفاذية بمساحة تقدر بحوالي ٩٥٣ كلم^٢، أي مع يعادل ٨٦,٩٪ من مساحة حوض وادي سمندو و ١٠,٨٪ من المساحة الإجمالية لحوض وادي الكبير الرمال.

٤) محطة دوار تسعدان لقياس صيب وادي الكبير النجاة بالجزء الأوسط الغربي من الحوض الهيدروغرافي لوادي الكبير الرمال بالإضافة إلى أربع محطات لقياس الأمطار هي :

١ - محطة بني عزيز.

٢ - محطة عين الكبيرة.

٣ - محطة بلالة فدولاس.

٤ - محطة بني قشة.

يجري وادي الكبير النجاة على مساحة تصريف تقدر بحوالي ٢٢٤٩ كلم^٢، أي ما يعادل تقريباً ٢٥,٥٪ من مجموع مساحة التصريف لحوض وادي الكبير الرمال.

ويتشكل المجرى الرئيس لوادي الكبير النجاة من التقاء رافدين أساسيين هما: وادي منعة الذي يجري باتجاه غربي - شرقي على مرتفعات القبائل الصغرى التلية التي يصل ارتفاعها ٨٠٠ م، ووادي دهامشة الذي يجري على ارتفاع ٨٩٠ م، باتجاه جنوبي شمالي. ويلتقي هذان الرافدان على التكوينات المارنية

الكريتاسية والايوسينية ضعيفة النفاذية ليشكلا القناة الرئيسة التي تجري مياهها باتجاه غربي - شرقي.

ويتغذى أيضاً وادي الكبير النجاة من مياه وادي رجاص ووادي بوصالح اللذين يجريان باتجاه جنوبي-شمالي على التكوينات المارنية الكريتاسية والايوسينية والتكوينات الرباعية وتكوينات الاوليغوسين الطينية Oligocène.

٥) محطة العنصر لقياس صيب وادي الكبير الرمال وأمطار الحوض الجزئي السفلي. ويمتد الحوض الجزئي السفلي على مساحة تصريف تقدر بحوالي ١٣٦١ كلم^٢، أي ما يعادل تقريباً ١٥,٤٪ من إجمالي مساحة التصريف لحوض وادي الكبير الرمال. ويتشكل المجرى الرئيس لهذا الحوض من وادي بوسياة الذي يجري باتجاه شرقي-غربي على التكوينات المارنية الكريتاسية، والايوسينية ضعيفة النفاذية التي تغطي مساحة تقدر بحوالي ٦٥٩ كلم^٢، أي ما يعادل تقريباً ٤٨,٤٪ من المساحة الإجمالية لهذا الحوض وما يعادل تقريباً ٧,٥٪ من المساحة الإجمالية لحوض وادي الكبير الرمال. ويغذي وادي الكبير الرمال عند هذا الحوض الجزئي عدة روافد تجري على ارتفاعات لا يتعدى متوسطها ٤٠٠ م، تشكلها تكوينات صخرية متحولة وناارية تظهر على سفحين متماثلين من حيث المساحة والامتداد ومن حيث درجة النفاذية.

وقد استبعدت محطتا دوار تسعدان ووادي العثمانية لأنهما لا تمثلان مجموع مساحة التصريف للحوضين الجزئيين لوادي الرمال سقان ولوادي الكبير النجاة.

الدراسات السابقة:

تعاني الدراسات الهيدرولوجية لأحواض التصريف بالجزائر من نقص البيانات المتعلقة بالسيول نظرا لما تشكله هذه الأخيرة من أخطار على عمليات القياس المباشر أثناء حدوثها. ولذا تتسم البيانات الهيدرولوجية على مستوى محطات القياس الهيدرومترية بأحواض التصريف على غرار الحوض المائي لوادي الكبير الرمال بنقص ملحوظ في المعلومات الخاصة بالصيب اليومي الأقصى لمختلف الأودية ولا تتوفر منها سوى بيانات نسبية تتعلق ببعض الفيضانات التي تحصل من فترة إلى أخرى مثل تلك التي حصلت يوم ٢٥ سبتمبر ١٩٧٣م (فيضان الفصل الحار) ويوم ١٥ أبريل ١٩٧٩م (فيضان الفصل البارد). ويشكل غياب القياسات الهيدرولوجية للسيول عائقا كبيرا في تقدير التغيرات الزمنية والمكانية للموارد المائية السطحية بحوض التصريف ودراستها لوادي الكبير الرمال (Mebarki, 1982). ولا يختلف بهذا الصدد حوض وادي الكبير الرمال عن بقية أحواض التصريف في مختلف مناطق العالم خاصة تلك التي تساقط كميات معتبرة من الأمطار يتبخّر جزء منها ويصب معظمها بسواحل البحار دون الاستفادة منها أثناء تساقطها أو تخزينها أثناء جريانها كما هو الحال بحوض وادي الكبير الرمال (Bensâad, 1994). ولقد قدم الكثير من الباحثين في مجال هيدرولوجية الموارد المائية السطحية بأحواض التصريف العديد من البدائل الرياضية لتقدير الصيب اليومي الأقصى للسيول اعتمادا على كميات الأمطار اليومية القصوى مثل نموذج تورازا Turazza ونموذج مالي - قوتيه Mallet-Gautier، ونموذج بوسنتي Possenti لسد النقص الكبير في عمليات القياس

المباشر لصيب الأودية خلال فترات السيول. وقد تم تطبيق هذه النماذج ومعايرتها بنجاح في العديد من الأحواض المائية الإيطالية المشابهة من حيث تضاريسها لتضاريس الحوض الهيدروغرافي لوادي الكبير الرمال بالتل الشرقي في الجزائر. كما تم استخدام هذه النماذج في كثير من أحواض التصريف بمختلف مناطق العالم على غرار الأحواض المائية بالولايات المتحدة الأمريكية (Chow, et al, 1988) وبعض أحواض التصريف بالهند (Raghumath, 1991) والجزائر (INRE, 1980). وسيتم تطبيق هذه النماذج بحوض وادي الكبير الرمال ومعايرتها لتقدير الصيب اليومي الأقصى لأهم الأودية ومن ثم تقدير حجم الفيضانات الناجمة عنها.

منهج البحث:

تعتمد هذه الدراسة على بيانات ٤٠ سنة من قياسات الأمطار اليومية القصوى (١ يناير ١٩٦١م إلى ٣١ ديسمبر ٢٠٠١م)، لإحدى وعشرين محطة لقياس مطرية تتوزع في منطقة الدراسة. وفي هذه الدراسة استخدمت ثلاث طرق أساسية لتقدير سرعة الجريان السطحي للسيول بحوض وادي الكبير الرمال من خلال تحليل الصيب اليومي الأقصى للفيضانات. وهذه الطرق المستخدمة هي كما يلي: (الشكل ٤)

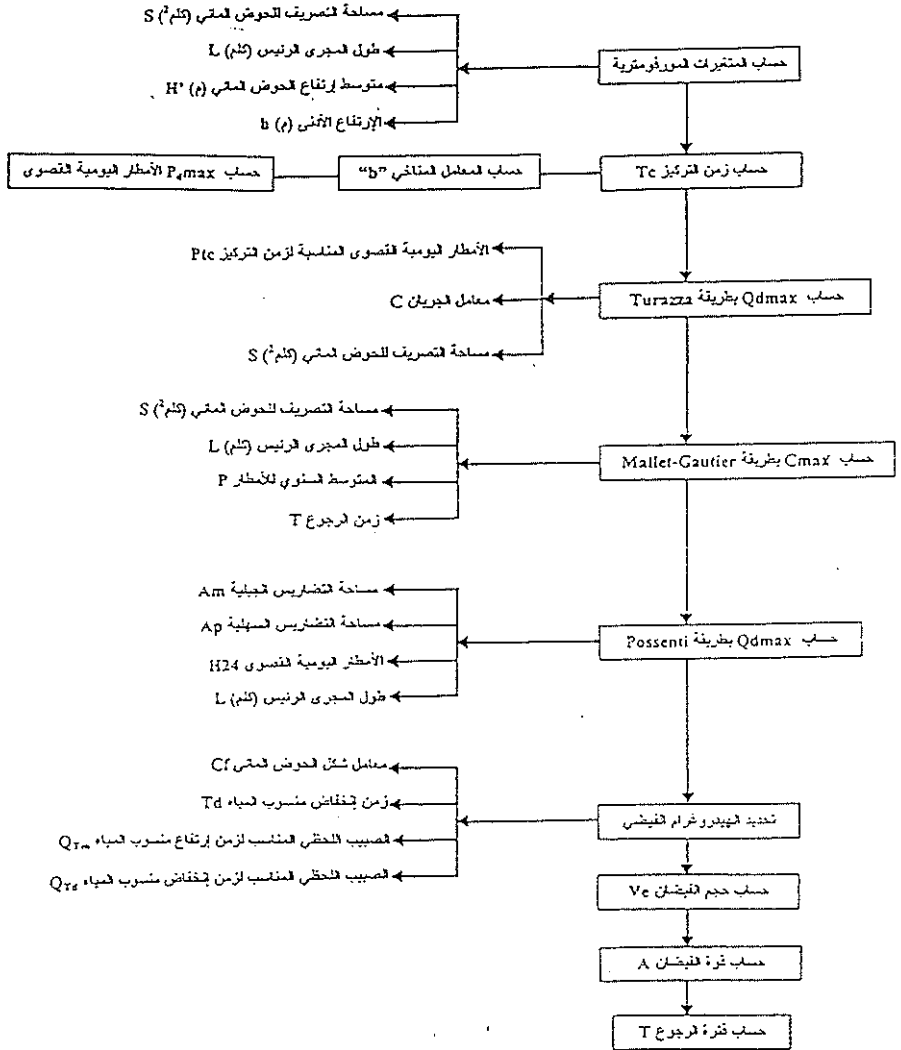
١- طريقة توراز Turazza المناسبة:

أ- لتقدير الصيب اليومي الأقصى على مستوى الأحواض المائية الجزئية.

ب- لتقدير الصيب اليومي الأقصى المناسب لمعامل الجريان السطحي ٠,٥

٠,٦ و ٠,٧ و ٠,٨ و ٠,٩.

الشكل 4 : مخطط منهجية البحث



المصدر: عمل الباحث.

ج- لتقدير الصيب اليومي الأقصى المناسب لفترات الرجوع سنتين و ٥ سنوات و ١٠ سنوات و ٥٠ سنة و ١٠٠ سنة.

٢- طريقة مالي - قوتيه Mallet-Gautier المناسبة لتقدير الصيب اليومي الأقصى لفترات الرجوع ٥ سنوات و ١٠ سنوات و ٥٠ سنة و ١٠٠ سنة، اعتماداً على المعدل السنوي للأمطار على مستوى الأحواض الجزئية المغذية للحوض الهيدرولوجي لوادي الكبير الرمال.

٣- طريقة بوسنتي Possenti المناسبة لتقدير الصيب اليومي الأقصى لمجموع مساحة التصريف للحوض الهيدرولوجي لوادي الكبير الرمال.

وتكمن أهمية هذه المنهجية في:

١- إمكانية تقدير الصيب اليومي الأقصى للفيضانات اعتماداً على قياسات الأمطار اليومية القصوى المميزة لفترات حدوث السيول والمسجلة عادة بالمحطات المناخية أو محطات قياس الأمطار دون الارتباط بقياسات سرعة الجريان السطحي بالمحطات الهيدرومترية. ويتعذر هذا النوع من القياسات الهيدرولوجية من على ضفاف الأودية نظراً لخطورة مياه السيول وصعوبة التحكم فيها.

٢- إمكانية معايرة نتائج الطرق المستخدمة في عملية تقدير الصيب الأقصى بقياسات الصيب اليومي الأقصى المسجلة بالمحطات الهيدرومترية.

٣- إمكانية الاستفادة من نتائج هذه الطرق في تحديد الأبعاد المكانية (السعة، الحجم، الموقع...) لمنشآت الموارد المائية من سدود وخزانات وحواجز مائية.

٤- إمكانية تطبيق هذه الطرق على أي من الأحواض المائية التي تتوفر فيها محطات مناخية ومحطات قياس الأمطار في حال غياب محطات هيدرومترية لقياس سرعة وكمية الجريان السطحي بالأودية.

والإجراءات المنهجية التي اتبعها الباحث لتقدير الصيب اليومي الأقصى للسيول في منطقة الدراسة هي على الترتيب التالي :

١- تحديد النطاقات المناخية بالمحوض الهيدروغرافي لوادي الكبير الرمال باستخدام معيار أمبرجي Embeger (1955)، الذي يحسب من المعادلة الآتية :

$$Q = \frac{1000 P}{\left[\frac{(M+k) + (m+k)}{2} \right]} [(M+k) - (m+k)] \dots\dots\dots [1]$$

بحيث يمثل :

Q : معيار أمبرجي .

M : المتوسط السنوي للحرارة القصوى (م[°]).

m : المتوسط السنوي للحرارة الدنيا (م[°]).

k : ثابت مقداره ٢٧٣,٢ م[°].

P : المتوسط السنوي للأمطار (ملم).

٢- تحديد الفترات الجافة والفترات الرطبة من السنة بالمحوض الهيدروغرافي لوادي

الكبير الرمال باستخدام معيار قوسن Gaussen (1948) : (Gausen & Bagnouls, 1948) :

$$p \leq 2T \dots\dots\dots [2]$$

بحيث يمثل :

T : المتوسط الشهري للحرارة (م⁰).

p : المتوسط الشهري للأمطار (ملم).

٣- تحديد الأحواض المائية الجزئية بالحوض الهيدروغرافي لوادي الكبير الرمال.

٤- تحديد محطات قياس الأمطار بالحوض الهيدروغرافي لوادي الكبير الرمال وحساب معدل الأمطار السنوية والأمطار اليومية القصوى بالأحواض الجزئية.

٥- حساب المعدل السنوي للأمطار والأمطار اليومية القصوى بالأحواض الجزئية.

٦- حساب الانحراف المعياري للأمطار اليومية القصوى بالأحواض الجزئية:

$$\sigma P_{dmax} = \sqrt{\frac{\sum (P_{di} - Pd)^2}{n}} \dots\dots\dots [3]$$

بحيث يمثل :

P_{di} : كمية الأمطار اليومية (ملم).

Pd : متوسط الأمطار اليومية (ملم) لعدد السنوات المدروسة (n).

n : عدد السنوات المدروسة.

٧- حساب معامل التباين للأمطار اليومية القصوى بالأحواض الجزئية من المعادلة التالية :

$$Cv = \frac{\sigma P_{dmax}}{Pd} \dots\dots\dots [4]$$

٨- حساب المؤشرات المورفومترية المعتمدة لحساب زمن التركيز بالأحواض

الجزئية وهي :

أ- الارتفاع المتوسط للحوض المائي (م).

ب- الارتفاع الأدنى للحوض المائي (م).

ج- مساحة التصريف للحوض المائي (كلم^٢).

د- طول المجرى الرئيس بالحوض المائي (كلم).

ويمثل زمن التركيز للحوض المائي الفترة الزمنية الضرورية التي تستغرقها كمية الأمطار المتساقطة للوصول من أبعد نقطة على خط تقسيم المياه إلى المصب على شكل مياه جارية سطحية (Jaton,1980). ويتناسب زمن التركيز ويعكس زمن التركيز سرعة قدرة التكوينات الجيولوجية للصخور على تحويل مياه الأمطار إلى مياه جارية سطحية.

٩- حساب زمن التركيز بمعادلة جيوندوتي (Jaton,1980) :

$$T_c = \frac{4\sqrt{S} + 1.5L}{0.8\sqrt{H'}} \dots\dots\dots [5]$$

بحيث يمثل :

T_c : زمن التركيز للحوض المائي (ساعة).

S : مساحة الحوض المائي (كلم^٢).

L : طول المجرى الرئيس للحوض المائي (كلم).

H' : الارتفاع المتوسط للحوض المائي وهو يحسب من المعادلة التالية :

$\frac{\text{الارتفاع الأدنى (م) + الارتفاع الأقصى (م) - الارتفاع الأدنى (م)}}{2}$ [6]

h : الارتفاع الأدنى بالحوض المائي (م).

١٠ - حساب المعامل المناخي "b" من المعادلة التالية (Body & Savary,1985) :

$$b = \frac{\left[8 \left[\ln t \cdot \ln \left(\frac{P_t}{P_{dmax}} \right) \right] - \left[\sum \ln t \cdot \sum \ln \left(\frac{P_t}{P_{dmax}} \right) \right] \right]}{8 \sum [\ln t]^2 - [\sum \ln t]^2} \dots\dots [7]$$

وتكمن أهمية المعامل المناخي في حساب قيم الأمطار اليومية القصوى المناسبة لزمن التركيز بالحوض المائي.

١١ - حساب قيم الأمطار اليومية القصوى المناسبة لزمن التركيز بكل حوض مائي

جزئي من المعادلة التالية (Dubreuil,1974) :

$$P_{Tc} \text{ (mm)} = P_{d \text{ max}} \text{ (mm)} \left[\frac{Tc}{24} \right]^b \dots\dots\dots [8]$$

بـيـث يـمـثـل :

b : معامل مناخي يحسب من المعادلة السابقة.

بـيـث يـمـثـل :

Pt : كمية الأمطار المقاسة في المحطة بفواصل زمني t (ساعة).

P_{dmax} : كمية الأمطار اليومية القصوى المقاسة بالمحطة خلال ٢٤ ساعة.

t : الفاصل الزمني لقياس الأمطار (ساعة).

P_{Tc} : كمية الأمطار اليومية القصوى المناسبة لزمن التركيز Tc.

$P_d \max$: كمية الأمطار اليومية القصوى المسجلة بمحطة قياس الأمطار وهي تمثل في هذه الدراسة متوسط كمية الأمطار اليومية القصوى لمجموع محطات قياس الأمطار بكل حوض جزئي.

T_c : زمن التركيز للحوض المائي (ساعة).

١٢- اختيار معامل الجريان المناسب لحدوث السيول (الفيضانات) بالحوض المائي المدروس : ٠,٥ و ٠,٦ و ٠,٧ و ٠,٨ و ٠,٩ علما بأن هذا المعامل يحسب من المعادلة التالية (Réménieras,1980) :

[9]..... $\frac{[E(mm)](ملم)}{[P(mm)](ملم)}$ كمية الجريان السطحي (ملم)

كمية التساقط (ملم)

وتحسب كمية الجريان السطحي (ملم) من المعادلة التالية :

$$E(mm) = \frac{Q (m^3/s) \cdot 10^3}{S (km^2)} t (sec) \cdot 10^{-6} \dots\dots\dots [10]$$

بحيث يمثل :

$Q (m^3/s)$: الصيب المقاس بالحوض المائي (م^٣/ثانية).

$S (km^2)$: مساحة التصريف للحوض المائي (كلم^٢).

$t (sec)$: زمن القياس بالثانية.

ويستخدم عادة في الدراسات الهيدرولوجية للفيضانات بالأحواض المائية

معامل الجريان الذي يفوق ٥٠٪ لتقييم الصيب اليومي الأقصى للفيضانات.

١٣- تطبيق معادلة تورازا Turazza التالية لحساب الصيب اليومي الأقصى المناسب للأمطار اليومية القصوى المقاسة ولمعامل الجريان : ٠,٥ و ٠,٦ و ٠,٧ و ٠,٨ و ٠,٩ بالأحواض الجزئية (Dubreuil,1974) :

$$Q_{dmax} (m^3/s) = \frac{C \times P_{Tc} (mm) \times S}{3.6Tc} \dots\dots\dots [11]$$

بجيث يمثل :

$Q_{dmax} (m^3/s)$: الصيب اليومي الأقصى للفيضان (م^٣/ثانية).

C : معامل الجريان السطحي.

$P_{Tc} (mm)$: كمية الأمطار (ملم) المناسبة لزمن التركيز Tc بالحوض المائي.

S : مساحة الحوض المائي (كلم^٢).

١٤- تقدير الأمطار اليومية القصوى المناسبة لفترات الرجوع T (سنوات) : ستان ، ٥ سنوات ، ١٠ سنوات ، ٢٠ سنة ، ٥٠ سنة ، ١٠٠ سنة بتطبيق معادلة التوزيع اللوغاريتمي الطبيعي "Log-normal" التالية المناسبة لحساب قيم الأمطار اليومية القصوى (Body & Savary,1985) :

$$P_{dmax}(Fq) = \frac{P_{dmax}}{\sqrt{Cv^2 + 1}} e^{u\sqrt{\ln(Cv^2 + 1)}} \dots\dots\dots [12]$$

بجيث يمثل :

$P_{dmax}(Fq)$: قيمة الأمطار اليومية القصوى المناسبة للتكرارية Fq (ملم).

٠,٩٩	٠,٩٨	٠,٩٥	٠,٩٠	٠,٨٠	٠,٥	التكرارية (Fq)
١٠٠	٥٠	٢٠	١٠	٥	٢	فترة الرجوع T(سنة)
٢,٣٢٧	٢,٠٥٧	١,٦٤٥	١,٢٨٢	٠,٨٤١	٠	متغير قوس Gauss

P_{dmax} : قيمة الأمطار اليومية القصوى المقاسة (ملم).

U : متغير قوس Gauss وهو يساوي :

Cv : معامل التباين (الاختلاف).

١٥ - حساب قيم الأمطار اليومية القصوى المناسبة لزمن التركيز T_c لكل فترة رجوع (سنوات) بكل حوض مائي جزئي من المعادلة التالية (Dubreuil,1974) :

$$P_{T_c(Fq)}(mm) = P_{dmax}(mm)(Fq) \left[\frac{T_c}{24} \right]^b \dots\dots [13]$$

بحيث يمثل :

b : معامل مناخي يحسب من المعادلة [7] .

$P_{T_c(Fq)}(mm)$: كمية الأمطار اليومية القصوى المناسبة لزمن التركيز T_c

وللتكرارية Fq.

$P_{dmax}(mm)(Fq)$: كمية الأمطار اليومية القصوى المناسبة للتكرارية Fq

بمحطة قياس الأمطار.

١٦ - حساب صيب الفيضانات اليومي الأقصى $Q_{dmax}(m^3/s)$ المناسب

لمعامل الجريان ٠,٥ و ٠,٦ و ٠,٧ و ٠,٨ و ٠,٩ وللتكرارية ٠,٥٠ و ٠,٨٠

و ٠,٩٠ و ٠,٩٥ و ٠,٩٨ و ٠,٩٩ بالأحواض الجزئية بتطبيق معادلة تورازا

Turazza التالية (Jaton,1980) :

$$Q_{dmax} (m^3/s) = \frac{C \times P_{Tc}(Fq) (mm) \times S}{3.6Tc} \dots\dots\dots [14]$$

بحيث يمثل :

$Q_{dmax} (m^3/s)$: الصيب اليومي الأقصى للفيضان (م^٣/ثانية).

C : معامل الجريان السطحي.

$P_{Tc}(Fq)$: كمية الأمطار (ملم) المناسبة لزمن التركيز Tc بالحوض المائي

وللتكرارية Fq.

S : مساحة الحوض المائي (كلم^٢).

١٧ - حساب الصيب اليومي الأقصى للفيضانات $C_{max} (m^3/s)$ بتطبيق

معادلة مالي - قوته Mallet-Gautier التالية (Gloor,1978) :

.....[15]

$$C_{max} (m^3/s) = 2K \log(1 + AP) \frac{S}{\sqrt{L}} \sqrt{1 + 4 \log T - \log S}$$

يمثل :

$C_{max} (m^3/s)$: الصيب اليومي الأقصى للفيضان (م^٣/ثانية).

K : ثابت يتراوح بين ٠,٧ بالنسبة للأحواض السهلية الداخلية و ٣ بالنسبة

للأحواض الجبلية الساحلية.

L : طول المجرى الرئيس بالحوض المائي (كلم).

S : مساحة الحوض المائي (كلم^٢).

P : المتوسط السنوي للأمطار (ملم).

T : فترة الرجوع (سنة).

A : ثابت مقداره ٢٠.

ويستخدم نموذج مالي - قوتيه Mallet-Gautier لتقدير الصيب اليومي

الأقصى للفيضانات ذات التردد الذي يزيد عن خمس سنوات.

١٨ - حساب الصيب اليومي الأقصى للفيضانات Q_{max} (m^3/s) لمجموع

مساحة التصريف لحوض وادي ضلع بتطبيق معادلة بوسنتي Possenti

التالية (Jaton,1980) :

$$Q_{max} (m^3/s) = \frac{\lambda H_{24} (mm)}{L} \left[Am + \frac{Ap}{3} \right] \dots\dots\dots [16]$$

بحيث يمثل :

λ : عدد ثابت يتراوح بين ٧٠٠ و ٨٠٠.

H_{24} (m) : كمية الأمطار اليومية القصوى (متر).

L : طول المجرى الرئيس بالحوض المائي (كلم).

Am : مساحة التضاريس الجبلية بالحوض المائي (كلم^٢).

Ap : مساحة التضاريس السهلية بالحوض المائي (كلم^٢).

١٩ - تحديد الهيدروغرام الفيضي للأحواض الجزئية حسب طريقة

سوكولوفسكي Sokolovski باتباع الخطوات المنهجية التالية

(Raghumath,1991) :

١- حساب زمن ارتفاع منسوب مياه الفيضان T_m وهو يساوي زمن التركيز للحوض المائي : $T_c = T_m$. ويقدر زمن ارتفاع منسوب مياه الفيضان كما يقدر زمن التركيز بالساعات.

٢- حساب معامل شكل الحوض المائي من معادلة قرافيليس Gravius التالية (Réménieras,1980):

$$C_f = 0.282 \left(\frac{P}{\sqrt{A}} \right) \dots \dots \dots [17]$$

بحيث يمثل :

C_f : معامل شكل الحوض المائي.

P : محيط الحوض المائي وهو يساوي طول خط تقسيم المياه (كلم).

A : مساحة الحوض المائي (كلم^٢).

٢٠- حساب الصيب النوعي اليومي الأقصى للفيضانات بتطبيق المعادلة التالية (Réménieras,1980):

$$q (l/S/km^2) = \frac{Q_{jmax} (m^3/s) \cdot 10^3}{S(km^2)} \dots \dots \dots [18]$$

بحيث يمثل :

$Q (l/S/km^2)$: الصيب النوعي اليومي الأقصى للفيضان (لتر/ثانية/كلم^٢).

$S (km^2)$: مساحة الحوض المائي (كلم^٢).

$Q_{jmax} (m^3/s)$: الصيب اليومي الأقصى للفيضان (م^٣/ثانية).

٢١- حساب قيمة الصيب اللحظي المناسب للارتفاع التدريجي لمنسوب مياه الفيضان بفواصل زمني قدره ١ ساعة من المعادلة التالية (Roche,1963):

$$Q_{Tm} (m^3/s) = Q_{max} (m^3/s) \left[\frac{T}{Tm} \right]^2 \dots\dots\dots [19]$$

بحيث يمثل :

$Q_{Tm} (m^3/s)$: الصيب اللحظي (م^٣/ثانية) المناسب لزمن ارتفاع منسوب مياه الفيضان المقدر بالساعة.

$Q_{max} (m^3/s)$: الصيب اليومي الأقصى (م^٣/ثانية) المحسوب بإحدى الطرق المذكورة سابقا.

T : الفاصل الزمني لحساب الارتفاع التدريجي لمنسوب مياه الفيضان مقدر بالساعة.

Tm : زمن التركيز المناسب للارتفاع التدريجي لمنسوب مياه الفيضان (ساعة).

٢٢- حساب زمن الانخفاض التدريجي للصيب اللحظي للفيضان من المعادلة التالية (Dubreuil,1974) :

$$T_d = Cf \times Tm \dots\dots\dots [20]$$

بحيث يمثل :

Td : زمن الانخفاض التدريجي لمنسوب مياه الفيضان (ساعة).

Cf : معامل شكل الحوض المائي.

Tm : زمن الارتفاع التدريجي لمنسوب مياه الفيضان (ساعة).

٢٣- حساب قيمة الصيب اللحظي المناسب للانخفاض التدريجي لمنسوب مياه الفيضان بفاصل زمني قدره ١ ساعة من المعادلة التالية (Roche,1963) :

$$Q_{Td} (m^3/s) = Q_{max} (m^3/s) \left[\frac{Td - T}{Td} \right]^3 \dots\dots\dots [21]$$

بحيث يمثل :

T : الفاصل الزمني لانخفاض منسوب مياه الفيضان (ساعة).

Td : زمن الانخفاض التدريجي لمنسوب مياه الفيضان (ساعة).

٢٤- حساب قيمة الأمطار المناسبة لزمن الارتفاع لمنسوب مياه الفيضان من

المعادلة التالية (Dubreuil,1974) :

$$P_{Tm} (mm) = P_{dmax} (mm) \left[\frac{T}{Tc} \right]^b \dots\dots\dots [22]$$

بحيث يمثل :

$P_{Tm} (mm)$: كمية الأمطار المناسبة لزمن الارتفاع التدريجي لمنسوب مياه

الفيضان (ملم).

$P_{dmax} (mm)$: كمية الأمطار اليومية القصوى المقاسة بالحوض المائي

(ملم).

T : الفاصل الزمني لارتفاع منسوب مياه الفيضان ويقدر بالساعة.

Tc : زمن التركيز للحوض المائي مقدرا بالساعة.

b : معامل مناخي يحسب من المعادلة [7] .

٢٥- معايرة قيم الصيب اليومي الأقصى المحسوب $Q_{cmax} (m^3/s)$ بقيم

الصيب اليومي الأقصى المقاس $Q_{mmax} (m^3/s)$ خلال فيضانات

الفصل الحار والفصل الرطب.

٢٦- حساب فترات الرجوع للصيب اليومي الأقصى المقاس $Q_{m_{max}} (m^3/s)$ ومقارنتها بفترات الرجوع للصيب اليومي الأقصى المائل والمحسوب بالمعادلات التجريبية بتطبيق المعادلة التالية :

$$T = \frac{1}{1 - Fq} \dots\dots\dots [23]$$

بحيث يمثل :

T : زمن الرجوع (سنة).

Fq : تكرارية الصيب اليومي الأقصى وهي تحسب بتطبيق قانون فريشييه Fréchet المناسب للتوزيع التكراري للصيب اليومي الأقصى من المعادلة التالية (Laborde, 1979) :

$$Fq = e^{-e^{-u}} \dots\dots\dots [24]$$

بحيث يمثل :

$$u = \frac{\log(Q - Q_0) - S}{\delta} \dots\dots\dots [25]$$

بحيث يمثل :

Q : الصيب اليومي الأقصى المقاس المراد حساب فترة رجوعه.

Q_0 : قيمة الصيب اليومي الأقصى الضرورية للحصول على توزيع بياني للصيب اليومي الأقصى المقاس في شكل مستقيم وهي تساوي صفرا عند تطبيق قانون فريشييه Fréchet.

δ : مقدار ثابت يساوي :

$$\delta = 0.7797 - \sigma \log(Q_0 - Q) \dots\dots\dots [26]$$

$$S = \log(Q - Q_0) - 0.5772\delta \dots\dots\dots [27]$$

٢٧- حساب حجم الفيضان بتطبيق المعادلة التالية: (Chow,1964)

$$Ve (Hm^3) = Tc (sec) \cdot 10^{-6} \cdot Q_{dmax}(m^3/s)$$

بحيث يمثل :

$Tc (sec)$: زمن التركيز للحوض المائي (ثانية).

$Q_{dmax}(m^3/s)$: الصبيب اليومي الأقصى للفيضان.

٢٨- حساب قوة الفيضان بتطبيق معادلة Meyer-Coutagne-Pardé التالية

(Pardé,1968)

$$A = \frac{Q_{dmax}(m^3/s)}{\sqrt{S}} \dots\dots\dots [28]$$

بحيث يمثل :

A : قوة الفيضان.

$Q_{dmax}(m^3/s)$: الصبيب اليومي الأقصى للفيضان.

S : مساحة الحوض المائي (كلم^٢).

الخصائص المناخية:

تتباين النطاقات المناخية بحوض وادي الكبير الرمال كلما ابتعدنا جنوبا عن

خط الساحل. ولقد تم تطبيق معيار أمبرجي Emberger لتصنيف النطاقات المناخية

بالحوض المدروس (Emberger,1954) :

$$Q = \frac{1000 p}{\left[\frac{(M+k) + (m+k)}{2} [(M+k) - (m+k)] \right]}$$

بحيث يمثل :

P = متوسط الأمطار السنوي (ملم).

Q = معيار امبرجي Emberger.

$$m = \text{المتوسط السنوي للحرارة الدنيا (م)} ، k = \text{ثابت مقداره } 2,273 \text{ م}.$$

$$M = \text{المتوسط السنوي للحرارة القصوى (م)}.$$

ولقد اعتمد الباحث على البيانات المناخية لثلاث محطات مناخية (جدول ١) خلال الفترة الممتدة من ١ يناير ١٩٧٢ م إلى ٣١ ديسمبر ١٩٩٣ م. ومن هذه المحطات فإن محطة الميلية تمثل المنطقة الجبلية التلية بالحوض السفلي لوادي الكبير الرمال، كما تمثل محطة قسنطينة المنطقة الجبلية التلية للحوض الأوسط لوادي الكبير الرمال أما محطة حمام قروز فتمثل الهضاب العليا القسنطينية بالحوض الأعلى لوادي الكبير الرمال.

وتتنوع النطاقات المناخية لحوض وادي الكبير الرمال كما يبين ذلك (الشكل رقم ٥) على النحو التالي (Cote,1987):

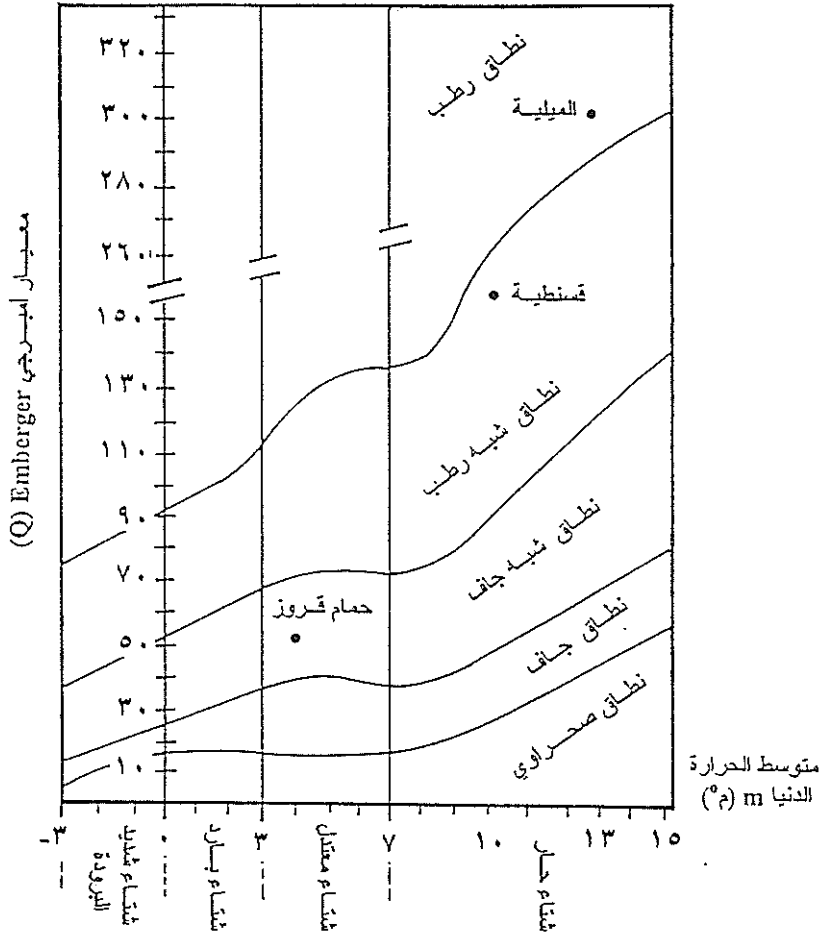
النطاق الرطب الذي يتميز بمتوسط سنوي للأمطار يصل في محطة الميلية إلى ١٠٤٩ ملم، وبتوسط سنوي للحرارة يبلغ ١٨,٥ م.

النطاق شبه الرطب الذي يتميز بمتوسط سنوي للأمطار يبلغ بمحطة قسنطينة ٥٤٩ ملم، وبتوسط سنوي للحرارة يبلغ ١٥,٧ م.

النطاق شبه الجاف الذي يتميز بمتوسط سنوي للأمطار لا يتعدى ٣٤٩ ملم، بمحطة حمام قروز، وبتوسط سنوي للحرارة يبلغ ١٥,٦ م.

بالإضافة إلى هذا تتسم النطاقات المناخية لحوض وادي الكبير الرمال بفصلين

الشكل ٥ : النطاقات المناخية لحوض وادي الكبير الرمال حسب معيار أمبرجي Emberger



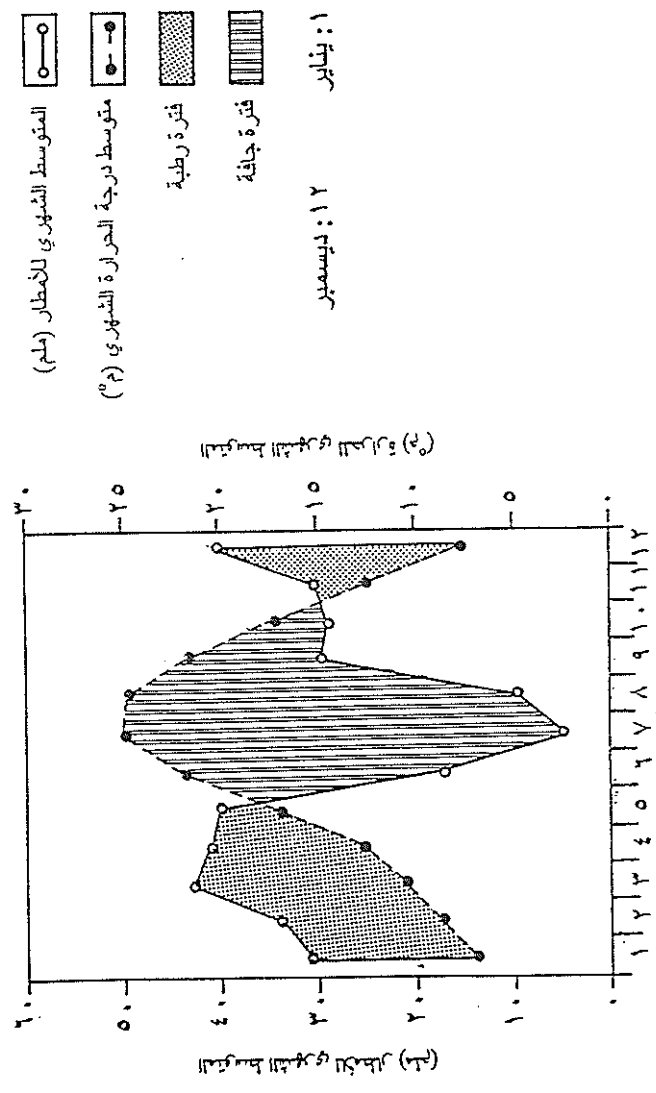
المصدر: عمل الباحث.

جدول ١ : البيانات المناخية للفترة من ١ يناير ١٩٧٢ إلى ٣١ ديسمبر ١٩٩٣

السنة	أغسطس	سبتمبر	أكتوبر	نوفمبر	ديسمبر	يناير	فبراير	مارس	أبريل	مايو	يونيو	يوليو	أغسطس
٢٤,٤	٣٥,١	٣٤,٦	٢٠,٤	٢٦,٢	٢٠,٨	١٩,٦	١٦,٩	١٥,٢	١٧,٦	١٧,٦	١٧,٦	٢٠,٤	٢٦,٢
١٢,٧	٢٠,١	١٨,٨	١٦,٥	١٣,٥	١٠,٠	٨,٥	٦,٩	٦,١	٨,٠	١١,٥	١٤,٢	١٧,٧	٢٠,١
١١,٨	١٥,٠	١٥,٨	١٢,٩	١٢,٧	١٠,٨	١١,١	١٠,٠	٩,١	٩,٦	٨,٩	١٠,٨	١٢,٥	١٢,٥
١٨,٥	٢٧,٦	٢٦,٧	٢٣,٥	١٩,٩	١٥,٤	١٤,٠	١١,٩	١٠,٧	١٢,٨	١٥,٩	١٩,٦	٢٤,٥	٢٤,٥
١٠٤٩,٠	١٢,١	٣,٢	١٧,٥	٥١,٥	٦٧,٢	٨٧,٢	١٢٠,٤	١٦٩,١	٢٠٣,٤	١٤٠,٠	١١٥,٢	٥١,٥	٥١,٥
٢١,٥	٣٢,٨	٢٢,٣	٢٨,٥	٢٢,١	١٩,٢	١٥,٧	١٢,٤	١٢,٦	١٢,٣	١٦,٥	٢٢,٣	٢٨,٨	٢٨,٨
٩,٨	١٧,٩	١٧,٧	١٥,٠	١٠,٨	٧,٢	٥,٤	٣,٨	٢,٧	٣,٠	٦,٥	١١,٥	١٦,٢	١٦,٢
١١,٧	١٤,٩	١٤,٦	١٣,٥	١٢,٢	١١,٩	١١,٢	٩,٦	٩,٩	٩,٢	١٠,٠	١٠,٨	١٢,٦	١٢,٦
١٥,٧	٢٥,٤	٢٥,٤	٢١,٨	١٧,٠	١٣,٣	١٠,٦	٧,٦	٧,٧	٧,٧	١١,٥	١٦,٩	٢٢,٥	٢٢,٥
٥٤٩,٠	١٢,٤	٥,٤	١٩,٣	٤٤,٧	٥٠,٦	٤٤,٨	٦٤,٧	٨٢,١	٨٧,٧	٥٨,٩	٤٧,٦	٣١,١	٣١,١
٢٧,٠	٣٨,٠	٣٨,٦	٣٦,٠	٣٠,٦	٢٤,٨	٢١,٢	١٨,٣	١٦,٥	١٦,٠	٢٢,١	٢٨,٣	٣٤,٣	٣٤,٣
٤,١	١١,٦	١١,٢	٧,٧	٣,٣	٠,٦	-٠,١	-٠,٣	-٢,٥	-٠,٤	٢,٠	٦,٣	٩,١	٩,١
٢٢,٩	٢٦,٤	٢٧,٤	٢٨,٣	٢٧,٣	٢٤,٢	٢١,٣	١٨,٦	١٩,٠	١٦,٤	١٩,١	٢٢,٠	٢٥,٢	٢٥,٢
١٥,٦	٢٤,٨	٢٤,٩	٢١,٩	١٧,٠	١٢,٧	١٠,٦	٩,٠	٧,٠	٧,٨	١٢,٦	١٧,٣	٢١,٧	٢١,٧
٢٤٨,٦	٩,٩	٥,٠	١٧,٢	٤٠,٠	٤١,٠	٤٢,٦	٣٢,٧	٣٠,٤	٤٠,٠	٣٠,٢	٢٨,٩	٢٩,٧	٢٩,٧

المصدر : عمل الباحث.

الشكل ٦ : منحنى فوسن Gaussen الحراري - المطري للفترة من ١ يناير ١٩٧٢ إلى ٣١ ديسمبر ١٩٩٣ بمحطة حمام قروز



- — ○ المتوسط الشهري للأمطار (مم)
- — ● متوسط درجة الحرارة الشهري (°م)
- فترة رطبة
- ▨ فترة جافة
- ١ : يناير
- ١٢ : ديسمبر

مناخين متمايزين حسب معيار قوسن Gaussen هما^(*) (الأشكال ٦ و ٧ و ٨):

١- الفصل الجاف الذي يتميز:

أ- بفترة حارة تمتد من بداية مايو إلى نهاية سبتمبر بمحطتي المليية وقسنطينية وحتى نهاية أكتوبر بمحطة حمام قروز.

ب- بمتوسط شهري للحرارة القصوى خلال شهر أغسطس يتراوح بين ٣٢,٨ م° بمحطة قسنطينية و ٣٨,٠ م° بمحطة حمام قروز.

ج- متوسط شهري للأمطار يصل أدناه خلال شهر يوليو بما يعادل ٣,٢ ملم بمحطة المليية و ٥,٠ ملم بمحطة حمام قروز و ٥,٤ ملم بمحطة قسنطينية.

٢- الفصل الرطب، ويتميز بالخصائص المناخية التالية:

أ- بفترة مطيرة وباردة تمتد من نهاية أكتوبر إلى نهاية أبريل بمحطتي المليية وقسنطينية ومن بداية نوفمبر إلى نهاية أبريل بمحطة حمام قروز.

ب- بمتوسط شهري للحرارة الدنيا خلال شهر يناير يتراوح بين ٦,١ م° بمحطة المليية و ٢,٥ م° بمحطة حمام قروز.

ج- بمتوسط شهري للأمطار يصل أقصاه خلال شهر ديسمبر بما يعادل ٢٠٣,٤ ملم بمحطة المليية و ٨٧,٧ ملم، بمحطة قسنطينية و ٤٢,٦ ملم، بمحطة حمام قروز.

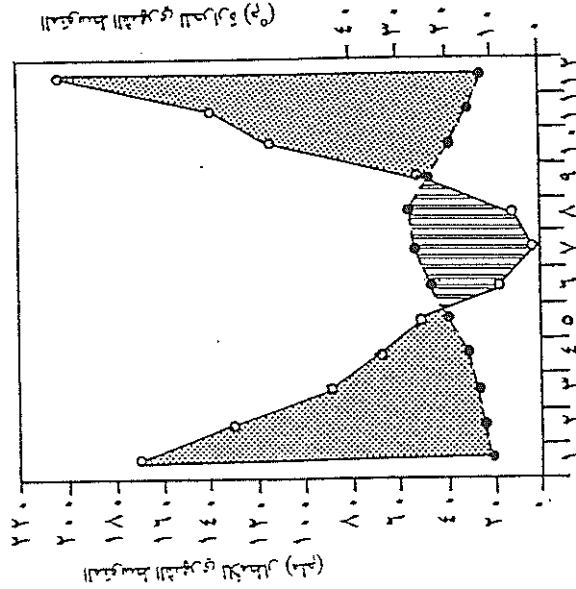
(*) معيار قوسن Gaussen: $P=2T$ ، بحيث يمثل:

P: متوسط الأمطار الشهري (ملم). T: متوسط الحرارة الشهري (م°)، وعليه فإن:

١- الشهر الجاف تكون فيه $P < 2T$.

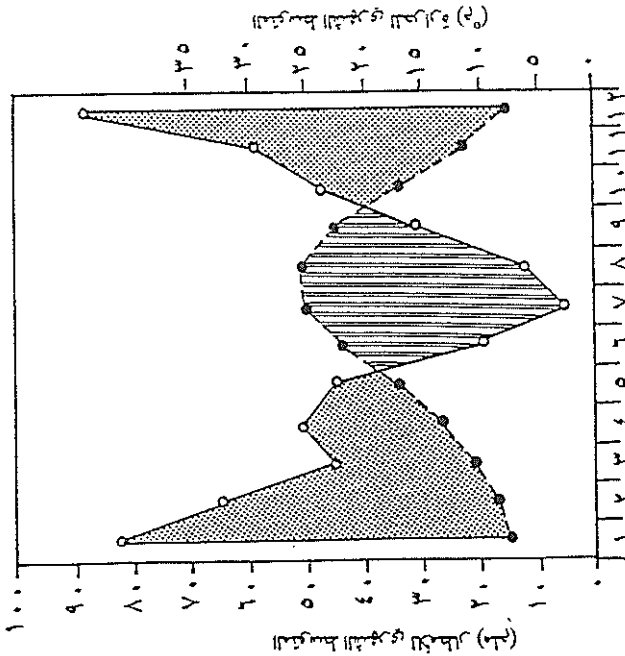
٢- الشهر الرطب تكون فيه $P > 2T$.

الشكل ٧ : منحنى قوسن Gausson الحراري - المطري للفترة من ١ يناير ١٩٧٢ إلى ٣١ ديسمبر ١٩٩٣ بمحطة المليية



المصدر: عمل الباحث.

الشكل ٨ : منحنى قوسن Gausson الحراري - المطري للفترة من ١ يناير ١٩٧٢ إلى ٣١ ديسمبر ١٩٩٣ بمحطة قسنطينة



الخصائص الجيولوجية للوحدات الهيدروغرافية:

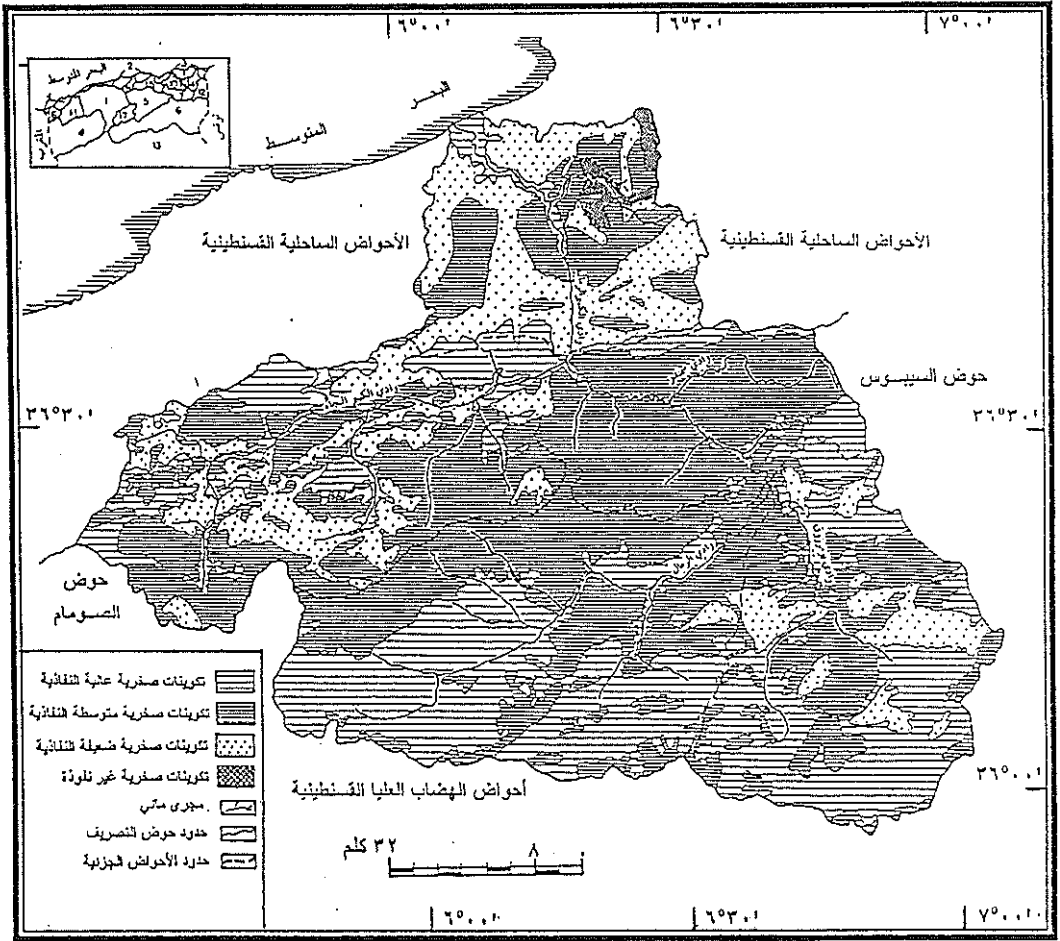
بالنظر إلى (الشكل ٩) فإن حوض وادي الكبير الرمال من ثلاثة وحدات هيدروغرافية هي:

الحوض الهيدروغرافي العلوي الذي تبلغ مساحته تصريفه حوالي ٤١٠٨ كلم^٢، أي ما يعادل ٤٦,٦٪ من المساحة الإجمالية لحوض وادي الكبير الرمال منها ٤٦٪ يجري عليها وادي بومرزوق وروافده والنسبة المتبقية يجري عليها وادي الرمال سقان وروافده. وتغطي تكوينات الزمن الرابع حوالي ٥٠,٠٪ من مساحة الحوض العلوي. ومن (جدول ٢) يتبين أن هذه التكوينات الصخرية تتميز بنفاذية عالية (شكل ١٠).

الحوض الهيدروغرافي الأوسط الذي يمتد على مساحة إجمالية تقدر بحوالي ٣٣٤٦ كلم^٢، أي ما يعادل ٣٧,٩٪ من المساحة الإجمالية لحوض وادي الكبير الرمال. ويجري وادي سمندو وروافده على ما نسبته ٣٣٪ من مساحة هذا الحوض أما النسبة المتبقية فيجري عليها وادي الكبير النجاء وروافده. وتشكل صخور هذا الحوض بالأساس من الطين والمارن الميوليوسيني الممتدة على مساحة تقدر بحوالي ٢٠٣٣ كلم^٢، أي ما يعادل ٦٠,٨٪ من المساحة الإجمالية لهذا الحوض. وتعتبر هذه التكوينات الصخرية من التكوينات متوسطة النفاذية.

الحوض الهيدروغرافي السفلي الذي يمتد على مساحة تصريف تقدر بحوالي ١٣٦١ كلم^٢، أي ما يعادل ١٥,٤٪ من مجموع مساحة حوض وادي الكبير الرمال. ويتشكل هذا الحوض من تكوينات ضعيفة النفاذية متباينة من حيث التركيب الصخري (تكوينات الفليش، مارن، صخور متحولة) والتي تشكل ما

الشكل ١٠ : نفاذية التكوينات الصخرية لحوض التصريف لوادي الكبير الرمال



المصدر: عمل الباحث بالإعتماد على الخريطة الجيولوجية ١/٢٠٠٠٠٠٠.

نسبته ٤٨,٤٪ من مساحة هذا الحوض في حين تغطي التكوينات متوسطة النفاذية كالكونغلوميرايت والمارن الكلسي والحجر الرملي والكلس المتصدع مساحة تصريف تساوي ٣٨,٤٪ من مجموع مساحة الحوض السفلي.

جدول ٢ : توزيع التكوينات الصخرية للأحواض الجزئية حسب مساحة تكشفتها

مجموع مساحة الحوض	تكوينات صخرية غير نفوذة	تكوينات صخرية ضعيفة النفاذية	تكوينات صخرية متوسطة النفاذية	تكوينات صخرية عالية النفاذية	الحوض المائي	
					المساحة (كلم ^٢)	%
١٨٧٢	--	٣٢٤	٧٢٠	٨٢٨	المساحة (كلم ^٢)	حوض وادي بومرزوق
١٠٠	--	١٧,٣	٣٨,٥	٤٤,٢	%	
٢٢٣٦	--	٣٣	٩٧٥	١٢٢٨	المساحة (كلم ^٢)	حوض وادي الرمال ستان
١٠٠	--	١,٥	٤٣,٦	٥٤,٩	%	
١٠٩٧	--	--	٩٥٣	١٤٤	المساحة (كلم ^٢)	حوض وادي الرمال مسندو
١٠٠	--	--	٨٦,٩	١٣,١	%	
٢٢٤٩	--	٨٤٩	١٠٨٠	٣٢٠	المساحة (كلم ^٢)	حوض وادي الكبير النجاة
١٠٠	--	٣٧,٨	٤٨,٠	١٤,٢	%	
١٣٦١	٧٢	٦٥٩	٥٢٢	١٠٨	المساحة (كلم ^٢)	حوض وادي الكبير الرمال السفلي
١٠٠	٥,٣	٤٨,٤	٣٨,٤	٧,٩	%	
٨٨١٥	٧٢	١٨٦٥	٤٢٥٠	٢٦٢٨	المساحة (كلم ^٢)	المجموع
١٠٠	٠,٨	٢١,٢	٤٨,٢	٢٩,٨	%	

المصدر: بوروية، ١٩٩٩، ص ٨.

الخصائص المورفومترية للوحدات الهيدروغرافية:

- تتباين الخصائص المورفومترية للوحدات الهيدروغرافية لحوض وادي الكبير الرمال من حيث قدرتها على تحويل مياه الأمطار إلى مياه جارية سطحية نظرا:
- لسعة مساحة التصريف التي تمتد عليها مجاري الشبكة المائية.
 - لتنوع التراكيب الصخرية والتكوينات الجيولوجية من حيث درجة النفاذية، ومن حيث درجة مقاومة الصخور لعوامل التعرية المائية، وامتداد مجاري الشبكة المائية.

- لتباين الخصائص المناخية وخاصة نظام توزيع الأمطار بين الحوض العلوي شبه الجاف والحوض السفلي الرطب.

وهذا التباين في الخصائص المورفومترية للوحدات الهيدروغرافية يتصف بالآتي :
تتناقص مساحة التصريف من الجنوب إلى الشمال مما يساعد على سرعة زيادة الجريان السطحي للسيول بالحوضين الأوسط والسفلي كما تدل عليه كثافة التصريف وتكرارية المجاري ومعامل الفيضان (الجدول ٣).

يتزايد عدد وأطوال المجاري بالحوضين الأوسط والعلوي نظراً لطبيعة التكوينات الصخرية ضعيفة المقاومة لعوامل التعرية مع امتداد مساحة التصريف بهما.

يتناسب زمن التركيز مع درجة نفاذية التكوينات الصخرية التي ترتبط بطبيعة وخصائص التركيب الصخري ومساحة التصريف فهو يتراوح بين ٧ ساعات ونصف بحوض وادي بومرزوق و ٢١ ساعة بحوض وادي الرمال سقان. ويعتبر زمن التركيز من أهم المتغيرات المعتمدة في حساب الصيب اليومي الأقصى للسيول.

لشكل الحوض المائي دور أساسي في سرعة تحويل مياه الأمطار إلى مياه جارية سطحية وفي التباينات المكانية لزمن التركيز بالوحدات الهيدروغرافية. ويتمثل شكل أحواض وادي بومرزوق ووادي الرمال سقان ووادي الكبير النجاء من جهة وشكل حوضي وادي سمندو ووادي الكبير الرمال السفلي من جهة ثانية. ويرتبط معامل الشكل في هذه الأحواض بالمائيات المكانية لتراكيبها الصخرية ولساحتها. ويعتمد معامل الشكل في حساب زمن انخفاض منسوب مياه السيول بالأحواض المائية.

جدول ٣ : المتغيرات المورفومترية لأحواض الجزئية

مجموع حوض وادي الكبير الرمال	حوض وادي الكبير الرمال السفلي	حوض وادي الرمال سفندو	حوض وادي الكبير التجة	حوض وادي الرمال سقان	حوض وادي بومرزوق	المتغيرات المورفومترية المساحة (كلم)
٨٨٦٥	١٣٦١	١٠٩٧	٢٢٤٩	٢٢٦٦	١٨٧٢	المساحة (كلم)
٥٤٠	١٧٧	١٦٠	٢٤٤	٢٤٧	٢١٧	المحيط (كلم)
٨٧٢	٧٣٩	٧٣٣	٩٤١	١٠٥٥	١١٥٢	الإرتفاع المتوسط (م)
١٥	١٥	١٥٠	٢٢٠	٦٠٤	٥٧٥	الإرتفاع الأدنى (م)
١٧٢٩	١٤٦٢	١٣٦٦	١٦٦٢	١٤٠٦	١٧٢٩	الإرتفاع الأقصى (م)
١٥٠٦	٣٨٠٦	٤٦٠٦	٢٨٠٨	١٥٠٣	٣٨٠٥	الإندثار المتوسط (م/كلم)
٣١٥	٦٣	٧٠	١٠٣	٩٨	٨٧	طول المجرى الرئيس (كلم)
١٠٦١	١٠٣٤	١٠٣٥	١٠٤٣	١٠٤٦	١٠٤٠	معامل التماسك
٢٠٤٠٦	٥٧٠٤	٥٢٠١	٨٣٠٩	٨٦٠٨	٧٣٠٦	طول المنتهين المتائل (كلم)
١٨٩٧	٧٢	٢٩٤	٤٥١	٤٢٠	٣٥٩	عدد المجاري (مجرى)
٦٦١١	١١٣٧	٨٩٦	١٥٤٣	١٧١٩	١٣٦٥	مجموع طول المجاري (كلم)
٢٠٥	٣٠٠	٣٠٠	٣٠٤	٤٠٠	٢٠٧	متوسط طول المجرى (كلم)
٢٠٦	٢٠٨	٢٠٣	٢٠٨	٢٠٠	٢٠٤	نسبة الأطوال
٤٠٣٢	٣٠٥١	٤٠١٦	٤٠٣٨	٤٠٤٠	٤٠١٥	نسبة الشعب
٠٠٧٥	٠٠٨٣	٠٠٨٢	٠٠٦٨	٠٠٧٦	٠٠٧٠	كثافة التصريف (كلم/كلم)
٠٠٢٢	٠٠٢٣	٠٠٢٧	٠٠٢٠	٠٠١٩	٠٠١٩	تكرارية التصريف (مجرى/كلم)
٠٠١٢	٠٠١٨	٠٠١٧	٠٠١٠	٠٠١٠	٠٠١٠	معامل الفيضان
١٠٣٣	١٠٢٠	١٠٢٢	١٠٤٧	١٠٣٠	١٠٤١	المساحة الدنيا (كلم/مجرى)
٤٠٦	٣٠٦	٣٠٧	٥٠٠	٥٠٣	٥٠٢	متوسط مساحة التصريف (كلم/مجرى)
٤٠٦	٣٠٦	٤٠٤	٤٠٨	٤٠٧	٤٠٨	نسبة المساحة
٠٠٠٨	٠٠٢٨	٠٠٦٠	٠٠٣٠	٠٠١٣	٠٠١٦	معامل التكتل
٦٠٠٥	١١٣٠٢	٤٨١١	٢٦٥٠١	١١١٠٢	١٤٣٠٤	معامل التضرس
٣١٠٢	١١٠٢٥	١٤٠٢	١٦	٢١	٧٠٥	زمن التركيز (ساعة)
١٠٦٢	١٠٣٥	١٠٣٦	١٠٤٤	١٠٤٧	١٠٤١	معامل الشكل

المصدر : عمل الباحث.

١- التباينات المكانية للأمطار:

تباين كميات الأمطار السنوية وكميات الأمطار اليومية القصوى من الشرق إلى الغرب ومن الشمال إلى الجنوب بحوض وادي الكبير الرمال. وتتلخص هذه التباينات فيما يلي: (Body & Savary,1985):

١ - التباينات المكانية للأمطار اليومية القصوى:

تتميز التباينات المكانية للأمطار اليومية القصوى بما يلي:

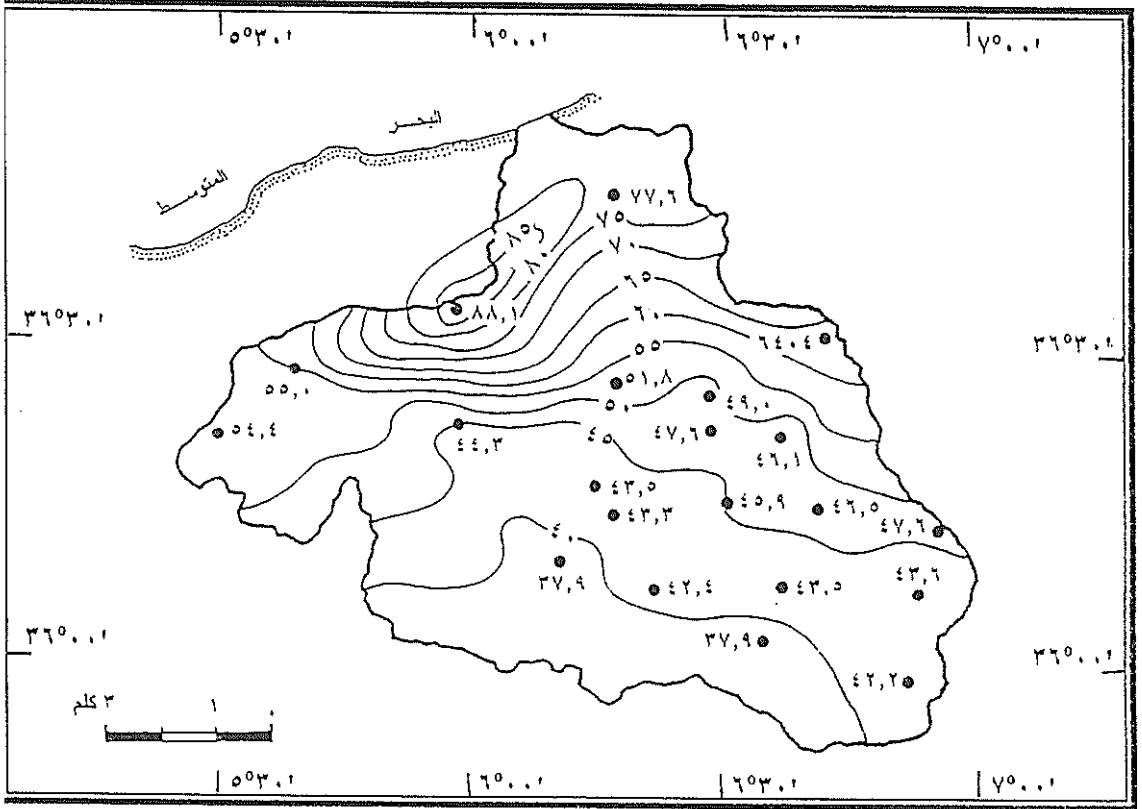
❖ تتزايد الأمطار اليومية القصوى من الجنوب إلى الشمال بما يعادل مرتين (شكل ١١)، وبمعدلات تتراوح بين ٣٧,٩ ملم/اليوم، بمحطتي شلغوم العيد وعين مليلة جنوباً و ٧٧,٦ ملم/اليوم بمحطة المليية شمالاً (الجدول ٤).

❖ يختلف معامل التباين من الجنوب إلى الشمال بحيث يبلغ على التوالي ٠,٥٣ و ٠,٣٨ بمحطتي عين مليلة وشلغوم العيد و ٠,٣٧ بمحطة المليية. وترجع هذه التباينات إلى:

١- تأثير التضاريس المحلية على نظام وكمية التساقط اليومي. فكمية التساقط تبلغ أقصاها بالمناطق الجبلية القريبة من خط الساحل شمالاً وأدناها بالهضاب العليا الواقعة في منطقة ظل المطر جنوباً بالنسبة للمرتفعات الجبلية التلية كما هو الحال بالنسبة للحوض الجزئي لوادي الرمال سقان.

٢- تبلغ الأمطار اليومية أقصاها بالمرتفعات الجبلية لجبال القبائل الصغرى غرباً حيث تصل ٨٨,١ ملم/اليوم بمحطة بلالة فدولاس. ويتأثر التوزيع المكاني للأمطار اليومية القصوى من الشرق إلى الغرب بعاملين أساسيين هما:

الشكل ١١ : خريطة خطوط التساوي للأمطار اليومية القصوى $P_{j_{max}}(mm)$
 لمحوض التصريف لوادي الكبير الرمال



المصدر: عمل الباحث.

(أ) تزايد ارتفاع السطح من الشرق إلى الغرب كلما اقتربنا من سلسلة جبال القبائل الصغرى.



جدول ٤ : التوزيع المكاني للأمطار السنوية والأمطار اليومية القصوى

المحطة	الإرتفاع (متر)	متوسط الأمطار السنوي (ملم)	الأمطار اليومية القصوى (ملم)	σ الأمطار اليومية القصوى (ملم)	معامل التباين للأمطار اليومية القصوى (ملم)	معامل "b"
١- بني عزيز	٨٥٠	٦٩٤	٥٥,٠	٢٥,٩	٠,٤٧	٠,٣٨
٢- عين الكبيرة	١٠٤٠	٦٨٢	٥٤,٤	٢٠,٧	٠,٣٨	٠,٣٨
٣- بني قشة	٤٣٠	٤٩٠	٤٤,٣	٢٧,٩	٠,٦٣	٠,٣٣
٤- بلالة فدرلاس	٨٤٣	١٣٢١	٨٨,١	٢٧,٣	٠,٣١	٠,٥٠
٥- شلموم العيد	٧٧٠	٣٦٨	٣٧,٩	١٤,٤	٠,٣٨	٠,٢٩
٦- وادي العثمانية	٧٠٠	٤٧٠	٤٣,٣	١٣,٤	٠,٣١	٠,٣٢
٧- يومالك	٨٠٥	٤٧٤	٤٣,٥	١٣,٩	٠,٣٢	٠,٣٢
٨- التلازمة	٨٢٠	٤٥٤	٤٢,٤	١٩,٩	٠,٤٧	٠,٣٢
٩- عين سمارة	٦٢٠	٥٢٠	٤٥,٩	١٦,٥	٠,٣٦	٠,٣٤
١٠- عين فكرون	٩٢١	٤٥٠	٤٢,٢	٢٠,٧	٠,٤٩	٠,٣١
١١- القراح	٧٧٥	٤٧٤	٤٣,٥	١٣,٠	٠,٣٠	٠,٣٢
١٢- أولاد ناصر	٧٧٠	٤٧٨	٤٣,٦	٢٤,٩	٠,٥٧	٠,٣٢
١٣- عين مليلة	٧٧٣	٣٦٧	٣٧,٩	٢٠,٠	٠,٥٣	٠,٢٩
١٤- الخروب	٦٤٠	٥٣١	٤٦,٥	١٩,٠	٠,٤١	٠,٣٤
١٥- عين صيد	٨٩٠	٥٥٢	٤٧,٦	٢١,٩	٠,٤٦	٠,٣٥
١٦- زيغود يوسف	٥٧٠	٨٧٣	٦٤,٤	٢٨,٣	٠,٤٤	٠,٤٢
١٧- عين كرامة	٥٥٠	٥٨٠	٤٩,٠	١٨,٦	٠,٣٨	٠,٣٥
١٨- مليلة	٤٦٤	٦٣٣	٥١,٨	١٧,٠	٠,٣٣	٠,٣٧
١٩- ابن زياد	٥١٤	٥٥٢	٤٧,٦	١٧,٦	٠,٣٧	٠,٣٥
٢٠- قسنطينة	٦٥٠	٥٢٣	٤٦,١	١٦,١	٠,٣٥	٠,٣٤
٢١- الميلية	١٠٥	١١٢٤	٧٧,٦	٢٨,٧	٠,٣٧	٠,٤٧
المعدل	--	٦٩٧,١	٥٥,٢	٢١,٩	٠,٤٠	٠,٣٨

المصدر: عمل الباحث.

ب) قرب هذه السلسلة الجبلية من التأثيرات البحرية القادمة من البحر المتوسط الذي يصب فيه وادي الكبير الرمال.

٣- يتناسب التوزيع المكاني لمعامل التباين عكسياً مع التوزيع المكاني للأمطار اليومية القصوى من الشرق إلى الغرب بحيث يتراوح هذا المعامل بين ٠,٥٧ لمعدل الأمطار اليومية القصوى يبلغ ٤٣,٦ ملم/اليوم بمحطة أولاد ناصر شرقاً و ٠,٣١ لمعدل من الأمطار اليومية القصوى يبلغ ٨٨,١ ملم/اليوم بمحطة بلالة فدولاس غرباً.

٤- أدت التباينات المكانية للأمطار اليومية القصوى على مستوى محطات قياس الأمطار من الجنوب إلى الشمال ومن الشرق إلى الغرب إلى وجود تباينات مكانية مماثلة لها على مستوى الأحواض الجزئية بحيث يتراوح معدل الأمطار اليومية القصوى بين ٤٢,٦ ملم/اليوم بالحوض الجزئي لوادي الرمال سقان جنوباً و ٧٧,٦ ملم/اليوم بالحوض الجزئي السفلي شمالاً أي بفارق يعادل ١,٨ مرة بين الحوضين (الجدول ٤).

٣- التباينات المكانية للأمطار السنوية:

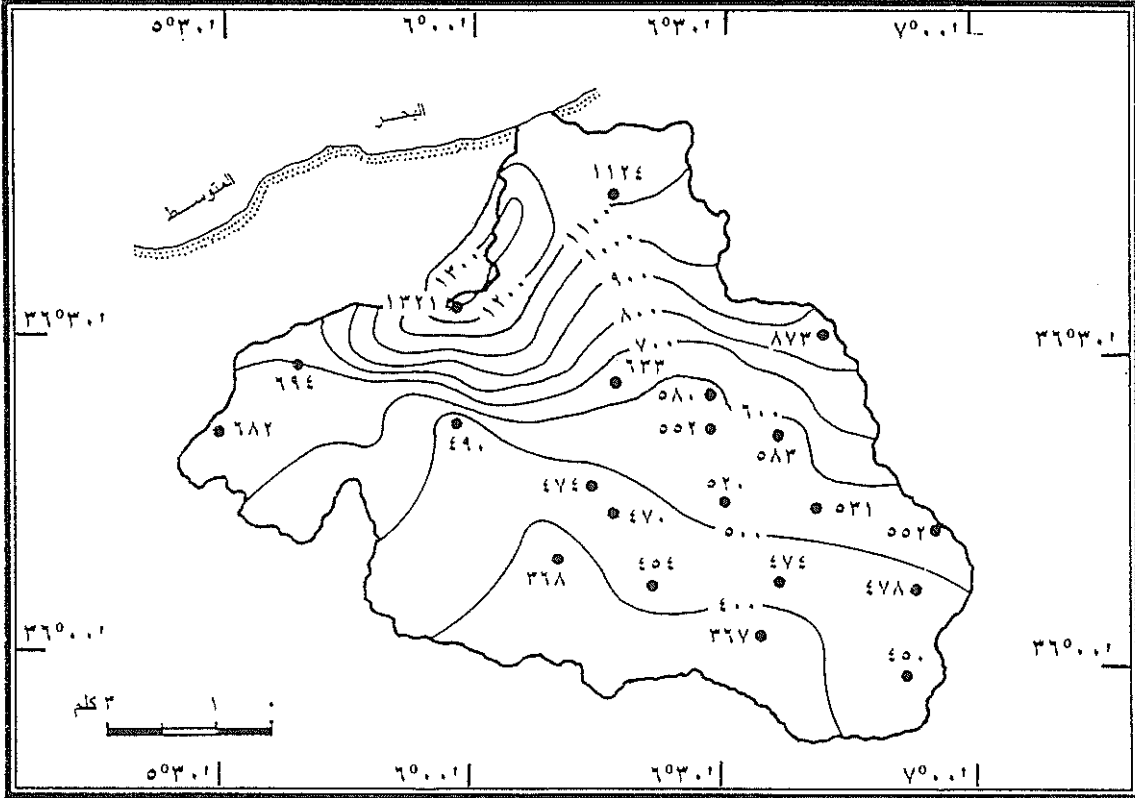
أ- تتوافق التباينات المكانية للأمطار السنوية مع مثيلاتها للأمطار اليومية القصوى بحيث:

١- تتزايد الأمطار السنوية من الجنوب إلى الشمال بما يعادل ثلاث مرات و بمعدلات تتراوح بين ٣٦٧ ملم/السنة بمحطة عين مليلة جنوباً و ١١٢٤ ملم/السنة بمحطة الميلية شمالاً (الشكل ١٢).

٢- تبلغ معدلات التساقط السنوي للأمطار في غرب الحوض ثلاثة أضعاف معدلات التساقط في شرقه، فكمية التساقط السنوي المسجلة في محطة عين



الشكل ١٢ : خريطة خطوط التساوي لمتوسط الأمطار السنوي Pan (mm) بحوض التصريف لوادي الكبير الرمال



المصدر: عمل الباحث.

فكرون تبلغ ٤٥٠ ملم في السنة بينما تصل إلى ١٣٢١ ملم في السنة في محطة بلالة فدولاس غربا.

٣- تتناسب المعدلات السنوية للأمطار على مستوى الأحواض الجزئية مع مثيلاتها على مستوى محطات قياس الأمطار، بحيث يصل معدل الأمطار السنوي أقصاه في الحوض الجزئي السفلي شمالا (١١٢٤ ملم/السنة) وأدناه في الحوض الجزئي لوادي الرمال سقان جنوباً (٤٥٧,٢ ملم/السنة).

التباينات المكانية للصيب اليومي الأقصى:

تباين قيم الصيب اليومي الأقصى للفيضانات المحسوب بنموذج تورازا Turazza من حوض جزئي إلى آخر كما تدل عليه بيانات (الجدول ٥) وتتلخص أهم التباينات المكانية للصيب اليومي الأقصى فيما يلي:

- ١- تتزايد قيم الصيب اليومي الأقصى للفيضانات في كل حوض جزئي بمقدار ١,٨ مرة مع تزايد قيم معامل الجريان من ٠,٥ بفارق يعادل ٢,٢ مرة إلى ٠,٨ بفارق يعادل ٢,٣ مرة بين حوضي وادي بومرزوق ووادي سمندو.

جدول ٥ : قيم الصيب اليومي الأقصى حسب نموذج تورازا Turazza

الصيب اليومي الأقصى (م/ثانية)					Tc (ساعة)	P _{1c} (ملم)	P _{jmax} (ملم)	الحوض المائي
C=٠,٩	C=٠,٨	C=٠,٧	C=٠,٦	C=٠,٥				
١٨٧٢,٠	١٦٦٤,٠	١٤٥٦,٠	١٢٤٨,٠	١٠٤٠,٠	٧,٥	٣٠,٠	٤٣,٦	وادي بومرزوق
١٨٠٦,٢	١٦٠٥,٦	١٤٠٤,٨	١٢٠٤,١	١٠٠٣,٥	١٦	٥١,٤	٦٠,٥	وادي الكبير النجاة
١٠٨٦,٠	٩٦٥,٤	٨٤٤,٧	٧٢٤,٠	٦٠٣,٤	٢١	٤٠,٨	٤٢,٦	وادي الرمال سقان
٨٢٤,٧	٧٣٣,٠	٦٤١,٤	٥٤٩,٨	٤٥٨,٢	١٤,٢	٤٢,٧	٥١,٨	وادي الرمال سمندو
١٦٤٥,٣	١٤٦٢,٥	١٢٧٩,٧	١٠٩٦,٩	٩١٤,٠	١١,٢٥	٥٤,٤	٧٧,٦	وادي الكبير الرمال السفلي

المصدر: عمل الباحث.

٢- ترتبط التباينات المكانية للصيب اليومي الأقصى للفيضانات بدرجة النفاذية وبطبيعة التكوينات السطحية والخصائص المورفومترية المتحكمة في زمن التركيز بالأحواض الجزئية أكثر من ارتباطها بكميات الأمطار اليومية القصوى كما تدل عليه :

أ- التباينات المكانية للأمطار اليومية القصوى P_{jmax} التي تتراوح بين ٤٢,٦ ملم/اليوم ويزمن تركيز قدره ٢١ ساعة بحوض وادي الرمال سقان و ٦٠,٥ ملم/اليوم ويزمن تركيز قدره ١٦ ساعة بحوض وادي الكبير- النجاة.

ب- التباينات المكانية للأمطار اليومية المناسبة لزمن التركيز P_{tc} التي تتراوح بين ٣٠,٠ ملم/اليوم ويزمن تركيز قدره ٧,٥ ساعات بحوض وادي بومرزوق و ٥١,٤ ملم/اليوم، ويزمن تركيز قدره ١٦ ساعة بحوض وادي الكبيرى البخاة. ويؤدي امتداد زمن التركيز إلى زيادة كمية التسرب الباطني وكمية التبخر التي تتعرض لها الأمطار المتساقطة خاصة بالأحواض الجزئية التي تتكون من صخور نفوذة أو عالية النفاذية حتى وإن ارتفعت بها كميات الأمطار كما تدل عليه الفوارق الموجودة بين كميات الأمطار اليومية المناسبة لزمن التركيز على مستوى حوض وادي بومرزوق ووادي سمندو.

تناسب قيم الصيب اليومي الأقصى للفيضانات مع قيم الصيب اليومي الأقصى المقاسة :

١- خلال فيضان ٢٩ نوفمبر ١٩٦٧م بحوض وادي الرمال سقان الذي بلغ فيه الصيب اللحظي الأقصى لوادي الرمال سقان عند محطة العثمانية ١٢٣٦,٠ م^٢/ثانية، وهي قيمة تماثل مع قيمة الصيب اليومي الأقصى

١٠٨٦,٠ م^٣/ثانية، المحسوب بمعامل جريان ٠,٦ بمحطة عين سمارة الواقعة على الوادي نفسه (الشكل ١٣).

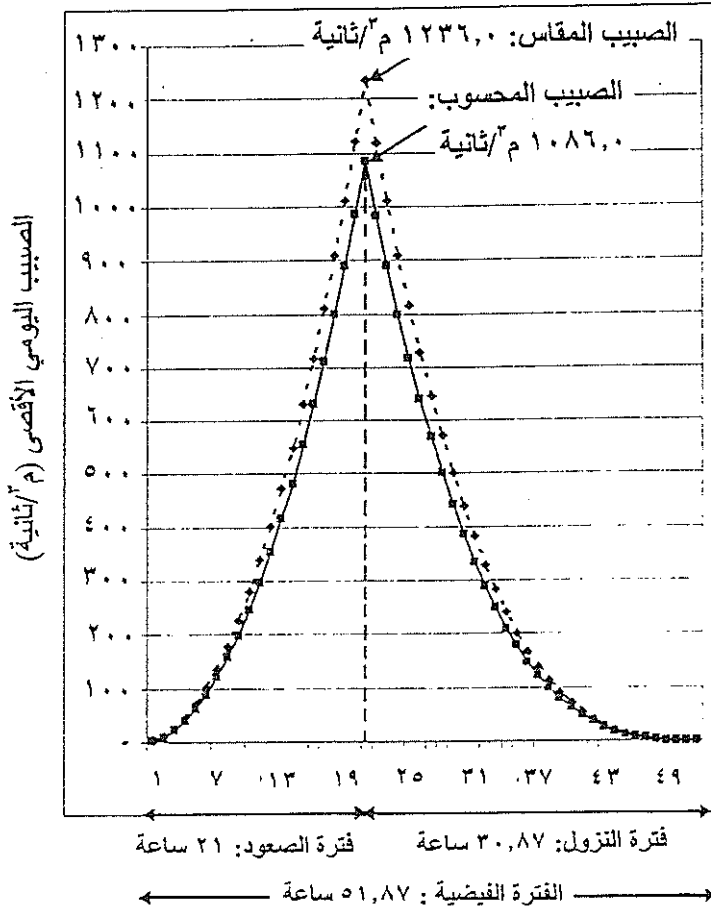
٢- خلال فيضان ١٦ أبريل ١٩٧٩ م بحوض وادي سمندو الذي بلغ فيه الصيب اللحظي الأقصى لوادي سمندو ٥٧٩,٠ م^٣/ثانية عند محطة القرارم وهي قيمة تتماثل مع قيمة الصيب اليومي الأقصى ٥٤٩,٨ م^٣/ثانية المحسوب بمعامل جريان ٠,٦ عند المحطة نفسها (الشكل ١٤).

٣- الحوض الجزئي السفلي لوادي الكبير الرمال خلال فيضان ١٦ أبريل ١٩٧٩ م، الذي بلغ خلاله الصيب اليومي الأقصى لوادي الكبير الرمال عند محطة العنصر ١٨٢٢,٠ م^٣/ثانية، وهي قيمة تتماثل مع قيمة الصيب اليومي الأقصى ١٨٥٢,٩ م^٣/ثانية المحسوب بمعامل جريان ٠,٩ عند محطة المليية في حين نجد أن الصيب اللحظي الأقصى المقاس خلال اليوم نفسه بلغ ٣٦٠٠ م^٣/ثانية، أي بفارق ١,٩ مرة بالنسبة للصيب اليومي الأقصى المقاس وكذلك بالنسبة للصيب اليومي الأقصى المحسوب بمعامل جريان ٠,٩ (الشكل ١٥).

٤- يتوافق الصيب اليومي الأقصى ١٢٣٦,٠ م^٣/ثانية، المحسوب بمعامل جريان ٠,٨ والمناسب لفترة الرجوع ٢٠ سنة بمحطة سمندو مع الصيب اللحظي لفيضان ٢٩ نوفمبر ١٩٦٧ م، بوادي الرمال سقان عند محطة وادي العثمانية.

٥- هناك توافق كبير بين قيم الصيب اليومي الأقصى المحسوب بنموذج بوسنتي ونموذج تورازا لمجموع مساحة التصريف للحوض الهيدروغرافي لوادي الكبير الرمال بحيث نجد أن معامل الارتباط يبلغ بين القيم المتماثلة للصيب اليومي

الشكل ١٣ : الهيدروغرام الفيضي للصيب اليومي الأقصى المحسوب بمعامل جريان $C=0,6$ (تمودج تورازا Turazza) وللصيب اليومي الأقصى لفيضان ١٩٦٧/١١/٢٩ م بحوض وادي الرمال سقان

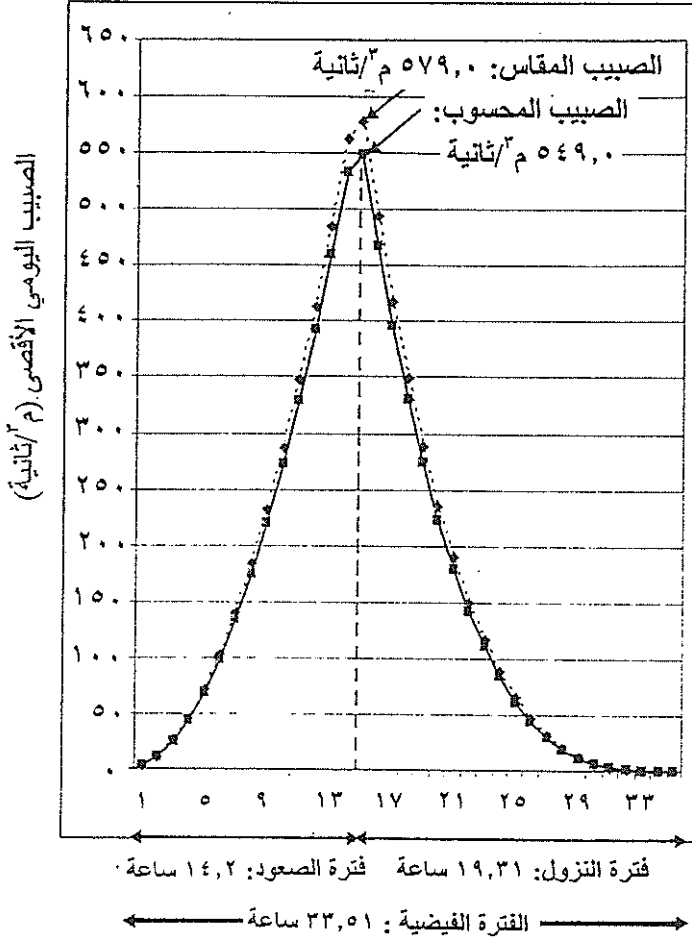


حجم الفيضان المقاس : ١٠.٩٣,٤ م^٣

حجم الفيضان المحسوب : ١٠.٨٢,١ م^٣

المصدر: عمل الباحث.

الشكل ١٤ : الهيدروغرام الفيضي للصيب اليومي الأقصى المحسوب
بمعامل جريان $C=0,6$ (تموذج تورازال Turazza) وللصيب اليومي الأقصى
لفيضان ١٩٧٩/٤/١٦ م بحوض وادي الرمال سمندو

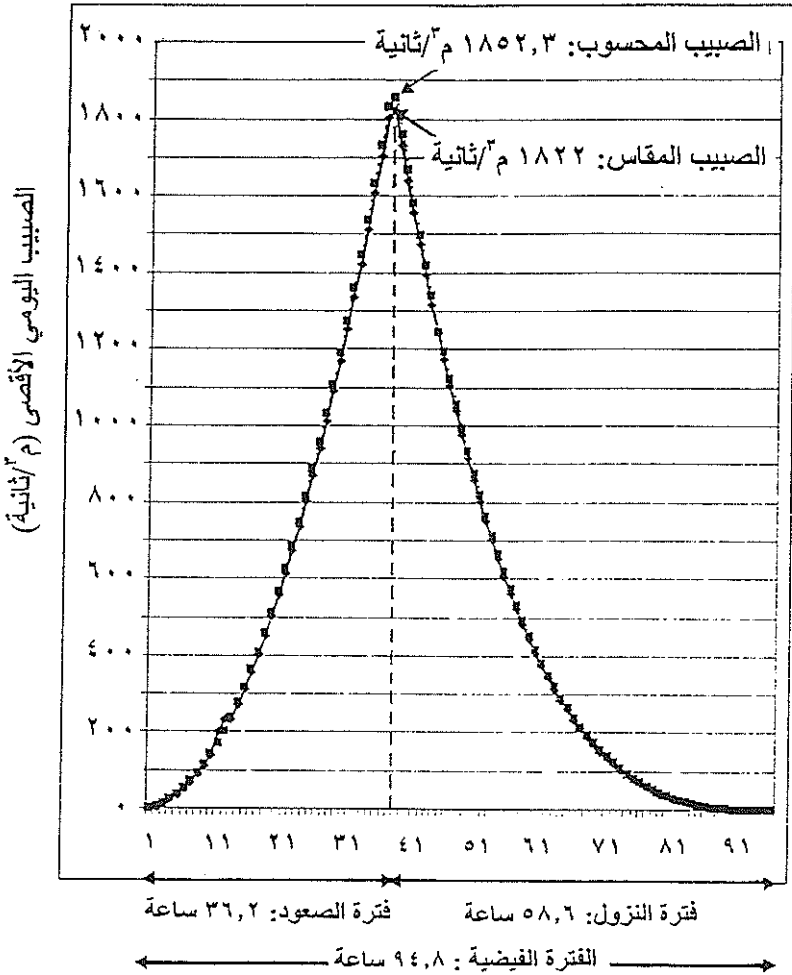


حجم الفيضان المقاس: ٢٩,٥٩ م³

حجم الفيضان المحسوب: ٢٨,٠٦ م³

المصدر: عمل الباحث.

الشكل ١٥ : الهيدروغرام الفيضي للصيب اليومي الأقصى المحسوب بمعامل جريان $C=0,6$ (نموذج تورازا Turazza) وللصيب اليومي الأقصى لفيضان ١٦/٤/١٩٧٩م بحوض وادي الكبير الرمال



حجم الفيضان المقاس : ١٠ . ٢٣٧,٤ م^٣

حجم الفيضان المحسوب : ١٠ . ٢٤١,٤ م^٣

المصدر: عمل الباحث.

الأقصى المحسوب بنموذجي بوسنتي وتورازا 0.9980 عند مستوى الدلالة 99.9% (الجدول ٦).

التحليل المقارن لنتائج نموذجي مالي - قوته Mallet-Gautier وتورازا Turazza بالأحواض الجزئية.

جدول ٦ : قيم الصيب اليومي الأقصى المحسوب لمجموع مساحة التصريف بالحوض المائي لوادي الكبير الرمال

Fq:٠,٩٩	Fq:٠,٩٨	Fq:٠,٩٥	Fq:٠,٩٠	Fq:٠,٨٠	Fq:٠,٥٠	النموذج	
						Possenti	مالي - قوته
١٧٩٩,٩٠٢	١٤٩٧,١٨٣	١٢١٦,٩٢٢	١٠٠٧,٩٥٦	٨١٥,٨٤٦	٦٢٩,٣٥٨	Mallet-Gautier	بوسنتي
٨٩٨٧,٧٤	٧١٠٤,٣٤	٤٦١٤,١٤	٢٧٣٥,٨٤	١٢٢٥,١٢		Mallet-Gautier	مالي - قوته
٢١٨٢,٣٤	١٨١٨,٥٨	١٤٦٤,٤٢	١٢٠١,٢	١٠١٠,٩٢	٧٤٢,٩	C=٠,٥	
٢٦١٩,٦٤	٢١٨٢,٣٤	١٧٥٧,٢٦	١٤٤١,٤٤	١٢١٢,٩٦	٨٩١,٤٦	C=٠,٦	
٣٠٥٦,٢٢	٢٥٤٦,٠٨	٢٠٥٠,١٦	١٦٨١,٧	١٤١٥,١٢	١٠٤٠,٠٤	C=٠,٧	
٣٤٩٢,٨٢	٢٩٠٩,٨٤	٢٣٤٣,٠٢	١٩٢١,٩٦	١٦١٧,٢٦	١١٩٠,٦	C=٠,٨	
٣٩٢٩,٤٦	٣٢٧٣,٥	٢٦٣٥,٩٢	٢١٦٢,١٨	١٨١٩,٤٤	١٣٣٧,٢	C=٠,٩	

المصدر: عمل الباحث.

جدول ٧ : قيم الصيب اليومي الأقصى حسب نموذج مالي - قوتيه Mallet-Gautier

الصيب اليومي الأقصى (م / ثانية)		طول المجرى الرئيسي (كلم)	مساحة الحوض (² كلم)	معدل الأمطار السنوي (ملم)	الحوض المائي
Fq=٠,٩٩	Fq=٠,٩٨				
٩١٤٩,٥	٧٢٢٥,٤	٤٦٨٤,٩	٢٧٦٢,٤	٤٧٥,٣	وادي بومرزوق
١٠٥١٥,٣	٨٢٧٢,٧	٥٣١٠,٧	٣٠٦٩,٥	٧٦٦,٨	وادي الكبير النجاة
١٠١١٢,٩	٧٩٥٦,٥	٥١٠٢,٠	٢٩٥٤,٦	٤٥٧,٢	وادي الرمال سقان
٦٤٠٧,١	٥١١١,٧	٣٣٩٧,٠	٢١٠٧,٠	٦٣٢,٧	وادي الرمال سملدو
٨٧٥٣,٩	٦٩٥٥,٩	٤٥٧٦,١	٢٧٨٥,٧	١١٢٤,٠	وادي الكبير الرمال السقالي

المصدر : عمل الباحث.

يظهر (الجدول ٧) قيم الصيب اليومي الأقصى المحسوب لفترات الرجوع الممتدة من ٥ إلى ١٠٠ سنة بنموذج مالي قوته المناسب لتقدير الصيب اليومي الأقصى على مستوى الأحواض الجزئية. وتباين قيم الصيب اليومي الأقصى المحسوبة بهذا النموذج مع نظيراتها المحسوبة بنموذج تورازا بحيث نجد أن:

١- فترة الرجوع لأقصى قيم الصيب اليومي المحسوب بنموذج تورازا وبمعامل جريان $C=0.9$ تتباين مقارنة مع مثيلاتها المحسوبة بنموذج مالي - قوته على النحو التالي:

أ- تتراوح بين ٤ و ٥ سنوات بالنسبة للصيب اليومي الأقصى لوادي بومرزوق.

ب- تصل إلى ٥ سنوات بالنسبة للصيب اليومي الأقصى لوادي الكبير- النجاة ووادي سمندو.

ج- تصل إلى ٦ سنوات بالنسبة للصيب اليومي الأقصى لوادي الرمال سقان.

د- تصل إلى ٧ سنوات بالنسبة للصيب اليومي للحوض الجزئي السفلي.

قيم الصيب اليومي الأقصى المحسوبة بنموذج مالي - قوته والمناسبة لفترات الرجوع الممتدة من ١٠ إلى ١٠٠ سنة تفوق جميع قيم الصيب اليومي الأقصى المحسوب بنموذج تورازا بمعامل جريان "C" الذي يتراوح بين $C=0.5$ و $C=0.9$. وادي بومرزوق يتميز بأقصى قيمة للصيب اليومي الأقصى المحسوب بنموذج تورازا وبمعامل جريان $C=0.9$ في حين نجد أن:

وادي الكبير- النجاة يتميز بأعلى قيم الصيب اليومي الأقصى لفترات الرجوع ٥ - ١٠٠ سنة.

وادي الرمال سقان يتميز بأدنى قيمة للصيب اليومي الأقصى ٧٩٨,٢ م^٢/ثانية المناسبة لفترة الرجوع ٥ سنوات، في حين يتميز وادي سمندو بأدنى القيم لفترات الرجوع ١٠ و ٢٠ و ٥٠ و ١٠٠ سنة وبصيب يتراوح بين ٢١٠٧,٠ م^٢/ثانية و ٦٤٠٧,١ م^٢/ثانية.

هناك نوع من التماثل بين قيم الصيب اليومي الأقصى المحسوب بنموذج تورازا ومالي - قوته كما يظهره (جدول ٨).

قيم معامل الجريان "C" التي أعطت قيماً للصيب اليومي الأقصى مماثلة لقيم الصيب اليومي الأقصى المحسوب بنموذج مالي - قوته تتراوح بين ٠,٧ و ٠,٩. باستثناء قيم الصيب اليومي الأقصى المحسوب بنموذج مالي - قوته الملخصة بالجدول ٧، فإن قيم الصيب اليومي المتبقية تفوق مثيلاتها المحسوبة بنموذج تورازا.

جدول ٨ : قيم الصيب اليومي الأقصى المتوافقة حسب نموذجي تورازا Turazza و مالي - قوته Mallet-Gautier

نموذج مالي - قوته Mallet-Gautier		نموذج تورازا Turazza			الحوض المائي
التردد Fq	Q _{jmax} (m ³ /s)	معامل الجريان C	التردد Fq	Q _{jmax} (m ³ /s)	
٠,٨٠	٨٢٨,٣	٠,٥٠	٠,٥٠	٩٤٦,٤	وادي بومرزوق
٠,٩٠	٢٧٦٢,٤	٠,٨٠	٠,٧٠	٢٦٥٦,٩	
٠,٩٥	٤٦٨٤,٩	٠,٩٠	٠,٩٩	٤٧٢٣,٧	
٠,٨٠	٢٦٨٩,٨	٠,٩٠	٠,٥٠	٢٥٥١,٢	وادي الكبير النجاة
٠,٩٠	٣٠٦٩,٥	٠,٧٠	٠,٨٠	٢٨٥٣,٤	
٠,٩٥	٥٣١٠,٧	٠,٩٠	٠,٩٠	٥٢٠٧,٩	
٠,٨٠	٧٩٨,٢	٠,٧٠	٠,٥٠	٧٩٣,٠	وادي الرمال سقان
٠,٩٠	٢٩٥٤,٦	٠,٩٠	٠,٩٩	٢٣٤٢,٥	
٠,٨٠	٨١١,٦	٠,٧٠	٠,٨٠	٨١١,٢	وادي الرمال سمندو
٠,٨٠	٩٨٧,٧	٠,٦٠	٠,٥٠	١٠٢٨,٣	وادي الكبير الرمال السفلي
٠,٩٠	٢٧٨٥,٧	٠,٩٠	٠,٨٠	٢٧٧٩,٥	

المصدر: عمل الباحث.

حساب حجم الفيضانات:

يتباين حجم الفيضانات من حوض جزئي إلى آخر تبعاً لتباين :
فترة ارتفاع منسوب مياه الفيضان T_m .

كمية الأمطار اليومية القصوى الضرورية لحدوث الفيضان $P_{jmax}(mm)$.

كمية الأمطار اليومية المناسبة لزمن التركيز P_{tc} .

معامل الجريان "C" بالنسبة لنموذج تورازا.

تباين التردد F_q وفترة الرجوع T .

وبالاعتماد على جدول المقارنة (جدول ٩) بين قيم الصيب اليومي الأقصى المتوافقة بين نموذجي تورازا ومالي - قوته نجد:

أن هناك تبايناً واضحاً بين كميات الأمطار اليومية القصوى الضرورية لحدوث الفيضان $P_{jmax}(mm)$ والتي تتراوح بين ٣٩,٦ ملم / ساعة بالنسبة لحجم فيضي قدره ٢٥,٦ م^٦ ١٠ م^٢ يحدث بتردد ٠,٥ خلال فترة فيضية قدرها ١٨ ساعة بحوض وادي بومرزوق و ١٧٤,٤ ملم / ساعة، بالنسبة لحجم فيضي قدره ٢٩٩,٩ م^٦ ١٠ م^٢ يحدث بتردد ٠,٩٨ خلال فترة فيضية قدرها ٣٩ ساعة بحوض وادي الكبير النجاة^(*). ويرجع هذا التباين بالأساس إلى تباين توزيع الأمطار بين الأحواض الجزئية.

هناك تبايناً واضحاً بين كميات الأمطار المناسبة لزمن التركيز $P_{tc}(mm)$ والضرورية لحدوث الفيضانات بالأحواض الجزئية وهي تتراوح بين ٢٧,٣ ملم / ساعة بالنسبة لحجم فيضي قدره ٢٥,٦ م^٦ ١٠ م^٢ يحدث بتردد ٠,٥ خلال فترة

(*) الفترة الفيضية : فترة ارتفاع منسوب المياه (T_m) + فترة انخفاض منسوب المياه (T_d).

جدول ٩ : قيم الصيب اليومي الأقصى وحجم الفيضانات المتوقعة لفترات الرجوع المختلفة حسب نموذجي تورازا Turazza و مالي - فورتيه Mallet-Gautier

نموذج مالي - فورتيه Mallet-Gautier				نموذج تورازا Turazza				الزمن (ساعة)		الحوض المائي			
فترة الرجوع (سنة)	Ve (Hm ²)	Qjmax (m ³ /s)	Ptc (ملغ)	Pjmax (ملغ)	فترة الرجوع (سنة)	Ve (Hm ²)	Qjmax (m ³ /s)	معامل الجريان C	Ptc (ملغ)		Pjmax (ملغ)	Td	Tm
٥	٢٢,٣	٨٢٨,٣	٣٩,٥	٥٧,٣	٢	٢٥,٦	٩٤٦,٤	٠,٥٠	٢٧,٣	٣٩,٦	١٠,٦	٧,٥	وادي بومرزوق
١٠	٧٤,٦	٢٧٦٢,٤	٤٧,٩	٦٩,٥	١٠	٧١,٧	٢٦٥٦,٩	٠,٨٠	٤٧,٩	٦٩,٥	١٠,٦	٧,٥	
٢٠	١٢٦,٥	٤٦٨٤,٩	٥٦,٢	٨١,٥	١٠٠	١٢٧,٥	٤٧٢٣,٧	٠,٩٠	٧٥,٧	١٠٩,٨	١٠,٦	٧,٥	وادي الكبير النجاة
٥	١٥٤,٩	٢٦٨٩,٨	٦٠,٦	٧١,٣	١٠	١٤٦,٩	٢٥٥١,٢	٠,٩٠	٧٢,٦	٨٥,٤	٢٣,٠٤	١٦	
١٠	١٧٦,٨	٣٠٦٩,٥	٧٢,٦	٨٥,٤	٢٠	١٦٤,٤	٢٨٥٣,٤	٠,٧٠	١٠٤,٤	١٢٢,٨	٢٣,٠٤	١٦	وادي الرمال سقان
٢٠	٣٠٥,٩	٥٣١٠,٧	١٠٤,٤	١٢٢,٨	٥٠	٢٩٩,٩	٥٢٠٧,٩	٠,٩٠	١٤٨,٢	١٧٤,٤	٢٣,٠٤	١٦	
٥	٦٠,٣	٧٩٨,٢	٥١,٧	٥٤,٠	٢	٥٩,٩	٧٩٣,٠	٠,٧٠	٣٨,٣	٤٠,٠	٣٠,٨٧	٢١	وادي الرمال سقان
١٠	٢٢٣,٤	٢٩٥٤,٦	٦٠,٥	٦٣,٢	١٠٠	١٧٧,١	٢٣٤٢,٥	٠,٩٠	٨٨,٠	٩١,٩	٣٠,٨٧	٢١	
٥	٤١٤,٩	٨١١,٦	٥٤,٠	٦٥,٧	٥	٤١٤,٧	٨١١,٢	٠,٧٠	٥٤,٠	٦٥,٧	١٩,٣١	١٤,٢	وادي الرمال سقان
٥	٤٠,٠	٩٨٧,٧	٦٨,٩	٩٨,٤	٢	٤١,٦	١٠٢٨,٣	١,٦٠	٥١,٠	٧٢,٨	١٥,١٨	١١,٢٥	
١٠	١١٢,٨	٢٧٨٥,٧	٨٠,٦	١١٥,٢	٢٠	١١٢,٦	٢٧٧٩,٥	٠,٩٠	٩١,٩	١٣١,٢	١٥,١٨	١١,٢٥	وادي الرمال السفلي

المصدر : عمل الباحث.

فيضية قدرها ١٨ ساعة بحوض وادي بومرزوق و ١٤٨,٨ ملم / ٢٤ ساعة بالنسبة لحجم فيض قدره ٢٩٩,٩ . ١٠ م^٣ يحدث بتردد ٠,٩٨ خلال فترة فيضية قدرها ٣٩ ساعة بحوض وادي الكبير النجاة. ويرجع هذا التباين بالأساس إلى تباين قدرة التكوينات الصخرية بالحوضين على سرعة تحويل مياه الأمطار إلى مياه جريان سطحي.

يبلغ حجم الفيضانات أقصاه وفقا لنموذج تورازا مرة واحدة كل ١٠٠ سنة، بمعامل جريان قدره ٠,٩ وبحجم فيضي قدره ١٢٧,٥ م^٣ خلال فترة فيضية قدرها ١٨ ساعة بحوض وادي بومرزوق وكذلك ١٧١,١ م^٣ خلال فترة فيضية قدرها ٥٢ ساعة بحوض وادي الرمال سقان في حين نجد أن حجم الفيضانات المناسب لفترة الرجوع نفسها (١٠٠ سنة) يبلغ حسب نموذج مالي - قوته ٢٤٧,٠ م^٣ بحوض وادي بومرزوق ويبلغ ٧٦٤,٥ م^٣ بحوض وادي الرمال سقان أي بزيادة قدرها ٤٨,٣٪ لحوض وادي بومرزوق و ٧٦,٨٪ لحوض وادي الرمال سقان. ويرجع هذا التباين إلى طبيعة ودرجة نفاذية التكوينات الصخرية بالإضافة إلى درجة الانحدار الطبوغرافي لتضاريس الحوضين. حجم الفيضانات التي تحدث بتردد 0.95 المحسوبة بنموذج مالي - قوته بما مقداره ١٢٦,٥ م^٣ تتماثل من حيث حجم الفيضان مع مثيلاتها التي تحدث بحوض وادي بومرزوق بتردد 0.99 وبحجم يبلغ ١٢٧,٥ م^٣ حسب نموذج تورازا.

باستثناء حوضي وادي بومرزوق ووادي الرمال اللذين يتسمان بحجم فيضي متماثل بين النموذجين وتردد يمتد إلى ١٠٠ سنة، فإن بقية الأحواض الجزئية

الأخرى تتعرض لفيضانات متماثلة بين النموذجين تحدث على فترات ممتدة بين سنتين و ٥٠ سنة.

يوجد نوع من التوافق بين نتائج نموذجي توراذا ومالي - قوته من حيث :

أ- فيضانات حوض وادي بومرزوق التي تحدث مرة واحدة كل ١٠ سنوات بحجم فيضي يبلغ $10.71,7 \text{ م}^3$ بالنسبة لنموذج توراذا و $10.74,6 \text{ م}^3$ بالنسبة بنموذج مالي - قوته.

ب- فيضانات حوض وادي سمندو التي تحدث مرة واحدة كل ٥ سنوات وبحجم فيضي يبلغ $10.414,7 \text{ م}^3$ بالنسبة لنموذج توراذا و $10.414,9 \text{ م}^3$ بالنسبة لنموذج مالي - قوته.

يتراوح معامل الارتباط بين قيم الأمطار اليومية القصوى والحجم الفيضي المتماثل بالأحواض الجزئية بين 0.6254 عند مستوى الدلالة ٩٥٪ بالنسبة لنموذج توراذا و 0.7254 عند مستوى الدلالة ٩٨٪ بالنسبة لنموذج مالي - قوته أي أن تغيرات هذا الأخير لا ترتبط سوى بنسبة تبلغ ٣٩٪ و ٥٣٪ بتغيرات الأمطار اليومية القصوى بالنسبة للنموذجين على التوالي. ويرجع هذا التباين إلى اختلاف متغيرات النموذجين المعتمدة في حساب الصيب اليومي الأقصى للفيضانات.

يبدو معامل الارتباط ضعيفا بين قيم الأمطار اليومية المناسبة لزمن التركيز والحجم الفيضي المتماثل بالأحواض الجزئية بحيث لا يتعدى 0.2655 بالنسبة لنموذج توراذا و 0.5200 بالنسبة لنموذج مالي - قوته أي أن تغيرات هذا الأخير لا ترتبط سوى بنسبة تبلغ ٧٪ و ٢٧٪ بتغيرات الأمطار اليومية المناسبة لزمن

التركيز بالنسبة للنموذجين على التوالي. ويرجع هذا التباين إلى كون فترة حدوث الحجم الفيضي تتجاوز في الزمن فترة التركيز للأمطار اليومية القصوى.

يتراوح معامل الارتباط بين قيم الأمطار اليومية القصوى والصيب اليومي الأقصى المتماثل بالأحواض الجزئية 0.5807 عند مستوى الدلالة ٩٠٪ بالنسبة لنموذج تورازا و 0.8523 عند مستوى الدلالة ٩٩,٩٪ بالنسبة لنموذج مالي - قوته أي أن تغيرات هذا الأخير ترتبط بنسبة ٣٤٪ و ٧٣٪ بتغيرات الأمطار اليومية القصوى بالنسبة للنموذجين على التوالي. ويتضح من هذا التباين أن الصيب اليومي الأقصى يرتبط في تغيراته الزمنية أكثر بتغيرات الأمطار اليومية القصوى مقارنة مع تغيرات الحجم الفيضي مما يدل على تأثير امتداد الأحواض والمجري الرئيسة بها المعتمدة في نموذج مالي - قوته (طول المجرى الرئيس، المساحة) على تحويل مياه الأمطار اليومية القصوى إلى مياه جارية سطحية.

يبلغ معامل الارتباط بين قيم الأمطار اليومية المناسبة لزمن التركيز والصيب اليومي الأقصى المتماثل بالأحواض الجزئية 0.6250 عند مستوى الدلالة ٩٥٪ بالنسبة لنموذج تورازا و 0.7942 عند مستوى الدلالة ٩٩٪ بالنسبة لنموذج مالي - قوته أي أن تغيرات هذا الأخير ترتبط بنسبة ٣٩٪ و ٦٣٪ بتغيرات الأمطار اليومية المناسبة لزمن التركيز بالنسبة للنموذجين على التوالي. ويتضح من هذا التباين أيضا أن تغيرات الصيب اليومي الأقصى ترتبط في تغيراتها الزمنية أكثر بتغيرات الأمطار اليومية المناسبة لزمن التركيز مقارنة مع تغيرات الحجم الفيضي. ويعكس هذا الارتباط مدى تأثير قدرة التكوينات الصخرية على سرعة تحويل مياه الأمطار إلى مياه جارية سطحية.

التباينات المكانية لقوة الفيضانات:

تتباين قوة الفيضانات بالأحواض الجزئية المدروسة حسب:

نموذج حساب الصيب اليومي الأقصى للفيضان.

فترة الرجوع للفيضان.

معامل الجريان السطحي "C".

وتتلخص أهم التباينات المكانية لقوة الفيضانات فيما يلي:

١- لا يوجد توافق بين قيم معامل قوة الفيضان "A" سوى بين ٨ قيم فقط محسوبة

بنموذجي تورازا ومالي - قوته كما يوضحه (الجدول ١٠).

٢- هناك توافق بين التوزيع المكاني للصيب النوعي اليومي الأقصى للفيضانات

المحسوب بمعامل جريان سطحي ٠,٥ لفترات الرجوع ٢٠ سنة (الشكل ١٦ ب)

والتوزيع المكاني للصيب النوعي اليومي الأقصى للفيضانات المحسوب

بمعامل جريان ٠,٩ لفترات الرجوع ١٠ و ٢٠ سنة بالنسبة لنموذج تورازا

(الشكل ١٦ ل).

٣- هناك توافق بين التوزيع المكاني للصيب النوعي اليومي الأقصى للفيضانات

المحسوب بمعامل جريان ٠,٥ و ٠,٩ لفترة الرجوع ١٠٠ سنة لنموذج تورازا

(الشكل ١٦ د والشكل ١٦ ن).

٤- هناك توافق بين التوزيع المكاني للصيب النوعي اليومي الأقصى المحسوب

بمعامل جريان ٠,٥ لفترات الرجوع ٥ و ١٠ سنوات (الشكل ١٦ أ)، من جهة

وبمعامل الجريان ٠,٩ لفترة الرجوع ٥ سنوات بالنسبة لنموذج تورازا من جهة

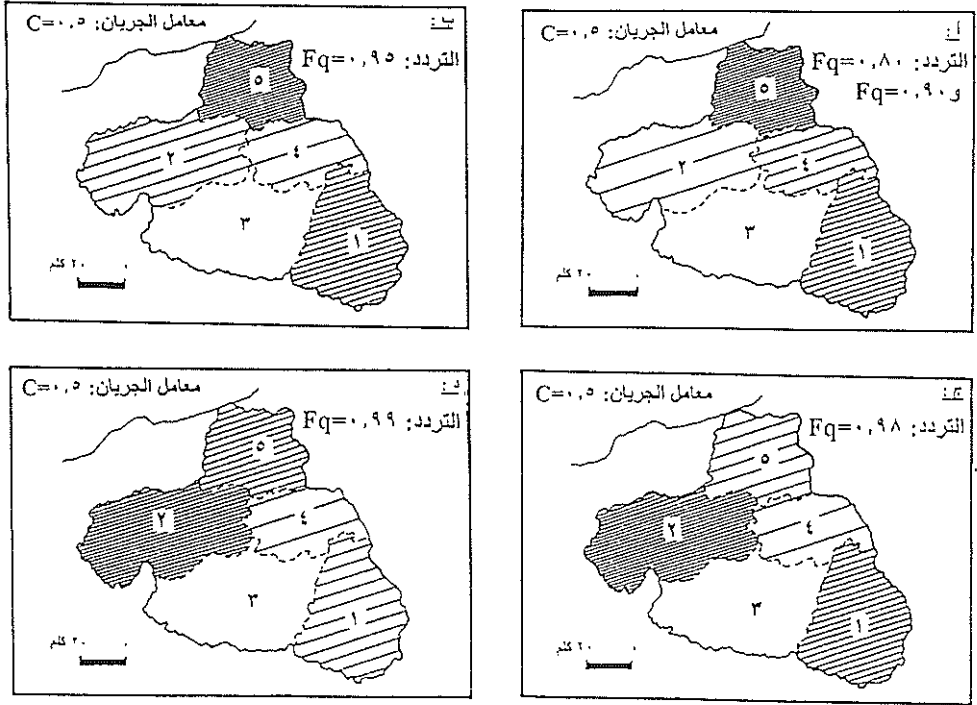
ثانية (الشكل ١٦ ك).

جدول ١٠ : قيم حجم الفيضانات المتوافقة بالأحواض الجزئية
حسب نموذجي تورازا Turazza و مالي - قوتيه Mallet-Gautier

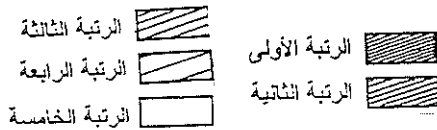
Mallet-Gautier - قوتيه مالي - نموذج مالي							Turazza نموذج تورازا						
Fq	"A"	q (l/s/km ²)	Ve (Hm ²)	Qjmax (m ³ /s)	Fq	"A"	"C"	q (l/s/km ²)	Ve (Hm ²)	Qjmax (m ³ /s)	العوض المائي		
٠,٩٠	٦٣,٨	١٤٧٥,٦	٧٤,٦	٢٧٦٢,٤	٠,٩٠	٦٩,٠	٠,٩	١٥٩٦,٦	٨٠,٧	٢٩٨٨,٩	وادي يومرزوق		
٠,٨٠	٥٦,٧	١١٦٥,٩	١٥٤,٩	٢٦٨٩,٨	٠,٩٠	٥٣,٨	٠,٩	١١٣٤,٤	١٤٦,٩	٢٥٥١,٢	وادي الكبير النجاة		
٠,٩٠	٦٤,٨	١٣٦٤,٨	١٧٦,٨	٣٠٦٩,٥	٠,٩٨	٦١,٠	٠,٥	١٢٨٦,٤	١١٦,٦	٢٨٩٣,٧			
٠,٩٥	١١٢,٠	٢٣٦١,٤	٣٠٥,٩	٥٣١٠,٧	٠,٩٨	١٠٩,٩	٠,٩	٢٣١٥,٧	٣٠٠,٠	٥٢٠٧,٩			
٠,٨٠	١٦,٩	٣٥٦,٩	٦٠,٣	٧٩٨,٢	٠,٨٠	١٨,٠	٠,٥	٣٤١,٩	٥٧,٨	٧٦٤,٦	وادي الرمال سفان		
٠,٨٠	٢٤٣٥	٧٣٩,٥	٤١,٤	٨١١,٦	٠,٩٥	٢٣,٣	٠,٥	٧٠٤,٢	٣٩,٤	٧٧٢,٥	وادي الرمال سفندو		
٠,٨٠	٢٦,٨	٧٢٥,٧	٤٠,٠	٩٨٧,٧	٠,٨٠	٣١,٤	٠,٥	٨٥٠,٦	٤٦,٩	١١٥٧,٧	الحوض الجزئي السفلي		
٠,٩٠	٧٥,٥	٢٠٤٦,٨	١١٢,٨	٢٧٨٥,٧	٠,٩٥	٧٥,٣	٠,٩	٢٠٤٢,٢	١١٢,٦	٢٧٧٩,٥			

المصدر : عمل الباحث.

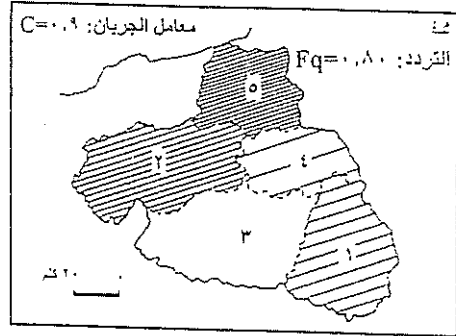
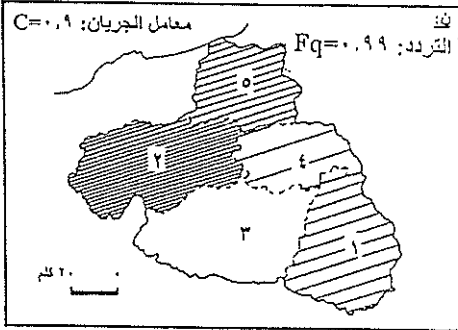
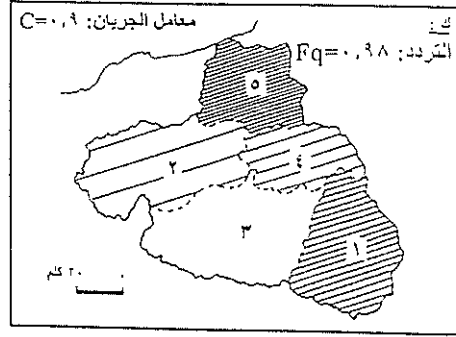
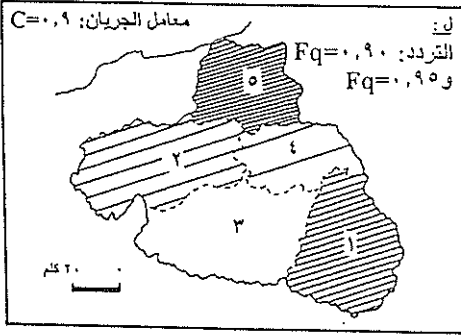
الشكل ١٦ : التغيرات المكانية للصيب النوعي اليومي الأقصى (نموذج تورازا Turazza)



١- حوض وادي بومرزوق ٢- حوض وادي الكبير النجاة ٣- حوض وادي الرمال سقان سقان
٤- حوض وادي الرمال سمندر ٥- الحوض الجزئي السفلي
انمصدر: عمل الباحث.



٥- يتميز حوض وادي الرمال سقان بأدنى قيم الصيب النوعي اليومي الأقصى للفيضانات (الجدول ١١). وتعكس هذه القيم ضعف قدرة التكوينات الصخرية الرباعية والطينية الميولبوسينية السائدة بهذا الحوض على تحويل مياه الأمطار إلى مياه جارية سطحية نظراً لنفاديتها العالية بالإضافة إلى ضعف المخدراتها مما يساعد على زيادة عملية تسرب مياه الأمطار إلى التربة وباطن الأرض.



١- حوض وادي بومزريق ٢- حوض وادي الكبير النجاة ٣- حوض وادي الرمال سفان
٤- حوض وادي الرمال سفندو ٥- الحوض الجزئي السفلي

المصدر: عمل الباحث.

٦- يتميز الحوض الجزئي السفلي بأقصى قيم الصيب النوعي اليومي الأقصى

لكل من:

أ- معامل الجريان ٠,٥ لفترات الرجوع الممتدة من ٥ إلى ٢٠ سنة بالنسبة

لنموذج تورازا (الشكل ١٦ أ و الشكل ١٦ ب).

ب- معامل الجريان ٠,٩ بالنسبة لنموذج تورازا (الشكل ١٦ ك و الشكل ١٦ ل

والشكل ١٦ م).

جدول ١١ : قيم الصيب النوعي اليومي الأقصى القمضانات (ل/ثا/كلم^٢)

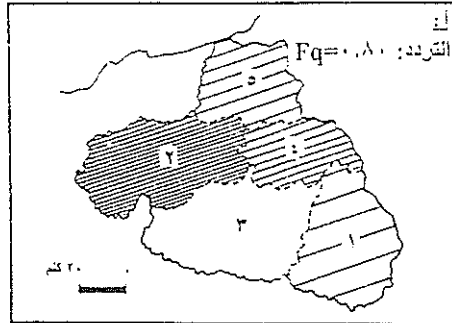
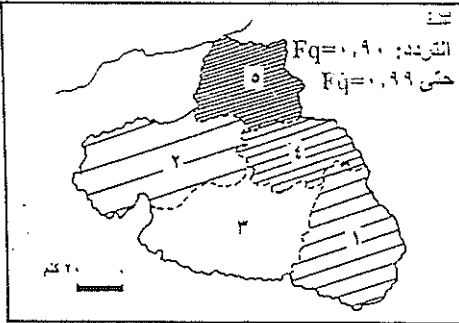
الحوض الجزئي السنلي	حوض وادي الرمال سندور	حوض وادي الرمال ستان	حوض وادي الكبير النجاة	حوض وادي بومرزوق	القموض		التردد
					C = ٠,٥	Turazzal - مالي - Gautier	
٨٥٠,٦	٥٢٨,٢	٢٤١,٩	٥٢٦,٢	٧٣١,٥	C = ٠,٥	Turazzal - مالي - Gautier	Fq = ٠,٨٠
١٥٢١,١	٩٥٠,٧	٦١٥,٥	٩٤٦,٨	١٣٦٦,٧	C = ٠,٩	Mallet - مالي - Gautier	
٧٢٥,٧	٧٢٩,٨	٢٥٦,٦	١١٩٥,٩	٤٤٧,٨	C = ١,٥	Turazzal - مالي - Gautier	Fq = ٠,٩٠
٩٩٥,١	٦١٩,١	٤٠٠,١	٦٣٠,٢	٨٨٧,٠	C = ٠,٩	Mallet - مالي - Gautier	
١٧٩١,١	١١٤٤,٥	٧٢٠,٢	١١٢٤,٤	١٥٩٦,٦	C = ١,٥	Turazzal - مالي - Gautier	Fq = ٠,٩٠
٢٠٤٦,٨	١٩٢٠,٧	١٢٢١,٤	١٣٦٤,٨	١٤٧٥,٦	C = ١,٥	Mallet - مالي - Gautier	
١١٢٤,٦	٧٠٤,٧	٤٥٥,٧	٩٠٦,٣	١٠٤٠,٨	C = ٠,٥	Turazzal - مالي - Gautier	Fq = ٠,٩٥
٢٠٤٢,٢	١٢٦٧,٥	٨٢٠,٢	١٦٣١,٢	١٨٧٢,٢	C = ٠,٩	Mallet - مالي - Gautier	
٣٢٦٢,٢	٢٠٩٦,٦	٢٢٨١,٨	٢٣٦١,٤	٢٥٠٢,٦	C = ١,٥	Turazzal - مالي - Gautier	Fq = ٠,٩٥
١١١٠,٤	٨١٦,٧	٥٢٩,٠	١٢٨٦,٤	١٢٤٦,٣	C = ٠,٥	Turazzal - مالي - Gautier	Fq = ٠,٩٨
٢٣٦٤,٤	١٤٧٠,٠	٩٥٢,٤	٢٣١٥,٧	٢٢٤٢,٢	C = ٠,٩	Mallet - مالي - Gautier	
٥١١,٩	٤٦٥,٧	٢٥٥,٤	٢٦٧٨,٢	٢٨٥٩,٧	C = ١,٥	Turazzal - مالي - Gautier	Fq = ٠,٩٨
١٤٤٨,١	٩٠٠,٠	٥٨٢,٠	١٧٩٢,٥	١٤٠١,٩	C = ٠,٥	Turazzal - مالي - Gautier	Fq = ٠,٩٩
٢٦٠٦,٧	١٦١٩,٨	١٠٤٧,٦	٣٢٢٦,٥	٢٥٢٢,٢	C = ٠,٩	Mallet - مالي - Gautier	
٦٤٣١,٩	٥٨٤,٦	٤٥٢٢,٨	٤٦٧٥,٥	٤٨٨٧,٦	C = ١,٥	Turazzal - مالي - Gautier	Fq = ٠,٩٩

المصدر : عمل الباحث.

ج- فترات الرجوع الممتدة من ١٠ إلى ١٠٠ سنة بالنسبة لنموذج مالي- قوته (الشكل ١٧ أ والشكل ١٧ ب). وتناسب هذه القيم مع طبيعة تضاريس الحوض الجزئي السفلي الذي تتجمع به كل الروافد المغذية لوادي الكبير الرمال من جهة ومع كميات الأمطار المرتفعة نظراً لقرب هذا الحوض الجزئي من خط الساحل للبحر المتوسط (المصب) من جهة ثانية.

٧- يتميز حوض وادي بومرزوق بأقصى قيم معامل قوة الفيضان "A" لفترات الرجوع ٥ و ١٠ سنوات (الشكل ١٨ أ) وكذلك لفترة الرجوع ٢٠ سنة بالنسبة لنموذج تورازا (الشكل ١٨ ب). وترتبط هذه القيم بطبيعة تضاريس هذا الحوض الجزئي الجبلية التي تساعد بانحداراتها على سرعة تحويل مياه الأمطار إلى مياه جارية سطحية.

الشكل ١٧ : التغيرات المكانيّة للصيب النوعي اليومي الأقصى (نموذج مالي-قوته Mallet-Gautier)



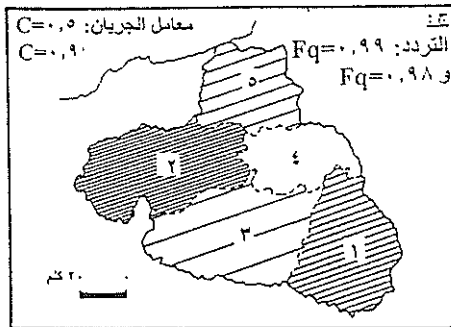
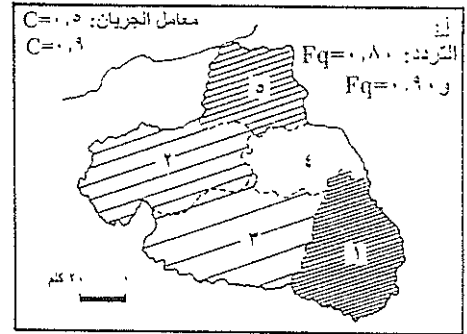
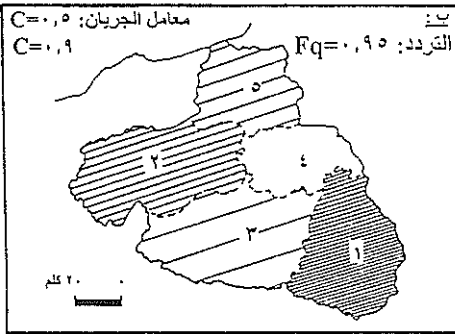
- ١- حوض وادي بومرزوق .٢- حوض وادي الكبير الشجاعة .٣- حوض وادي الرمال سقان
- ٤- حوض وادي الرمال سندير .٥- الحوض الجزئي السفلي

المصدر: عمل الباحث.

٨- يتميز حوض وادي الكبير النجاة بأقصى قيم معامل قوة الفيضان "A" لفترات الرجوع ٥٠ و ١٠٠ سنة بالنسبة لنموذج تورازا (الشكل ١٨ ج) ولفترة الرجوع ٥ سنوات بالنسبة لنموذج مالي- قوته (الشكل ١٩ أ). ويتمثل هذا الحوض الجزئي كثيراً في خصائصه الجيومورفولوجية والتضاريسية مع حوض وادي بومرزوق.

٩- يتميز الحوض الجزئي السفلي كذلك بأقصى قيم معامل قوة الفيضان "A" لفترات الرجوع الممتدة من ٢٠ إلى ١٠٠ سنة بالنسبة لنموذج مالي- قوته

الشكل ١٨ : التغيرات الإنكافية لمعامل قوة الفيضان "A" (نموذج تورازا Turazza)



- ١- حوض وادي بومرزوق ٢- حوض وادي الكبير النجاة ٣- حوض وادي الرمال سقان
 ٤- حوض وادي الرمال سنندر ٥- الحوض الجزئي السفلي

المصدر: عمل الباحث.

(الشكل ١٩ ب و الشكل ١٩ ج) و(الجدول ١٢) نظرا لأن هذا الحوض الجزئي تلتقي عنده مجاري مختلف الأحواض الجزئية الأخرى من جهة ويسبب انخفاض ارتفاعاته ووقوعه بجوار المصب.

١٠- يتمثل التوزيع المكاني لقوة الفيضانات في حوض وادي الرمال سمندو لفترات الرجوع الممتدة من ٥ إلى ١٠٠ سنة بمعامل جريان ٠,٥ و ٠,٩ (الشكل ١٨ أ والشكل ١٨ ب والشكل ١٨ ج) مع قوة الفيضانات لفترة الرجوع من ٢٠ إلى ١٠٠ سنة بالنسبة لنموذج مالي - قوته (الشكل ١٩ ج و الشكل ١٩ د) نظرا لطبيعة امتداد هذا الحوض على التضاريس الجبلية من جهة ولصغر مساحته من جهة ثانية.

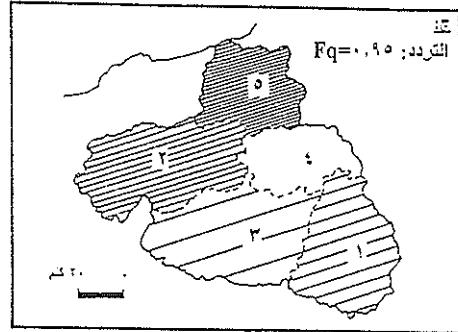
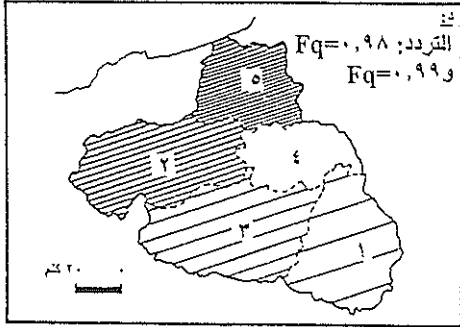
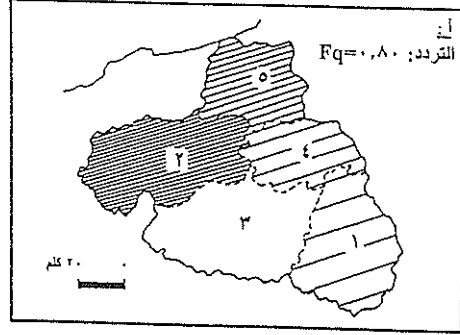
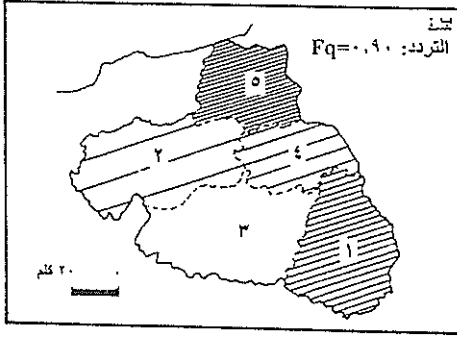
١١- يتمثل التوزيع المكاني لقوة الفيضانات في حوض وادي الرمال سقان لفترات الرجوع الممتدة من ٥ إلى ١٠٠ سنة بمعامل جريان ٠,٥ و ٠,٩ (الشكل ١٨ أ والشكل ١٨ ب والشكل ١٨ ج) مع قوة الفيضانات لفترة الرجوع ٢٠ سنة (الشكل ١٩ ج) بالنسبة لنموذج مالي - قوته كما ويتمثل التوزيع المكاني لقوة الفيضانات في حوض وادي الرمال سقان لفترات الرجوع الممتدة من ٥ إلى ١٠ سنوات (الشكل ١٩ أ والشكل ١٩ ب) بالنسبة لنموذج مالي - قوته. وتتأثر قيم الصيب النوعي المذكورة بامتداد التكوينات الرباعية النفوذة بهذا الحوض.

جدول ١٢ : قیم معامل قوة الفيضانات "A" بالأحواض الجزئية

الحوض الجزئي	حوض وادي الرمال سمندر	حوض وادي الرمال سغان	حوض وادي النجاة الكبير	حوض وادي بومرزوق	التموج	التردد
٣١,٤	١٧,٥	١٨,٥	٢٥,٥	٢١,٦	C = ٠,٥	Fq = ٠,٨٠
٥٦,٥	٣١,٥	٣٢,٥	٤٤,٩	٥٦,٩	C = ٠,٩	
٢١,٨	٢٤,٥	١٦,٩	٥٦,٧	١٩,٤	Turazzal Mallet - مالي - Gautier	
٣١,٧	٢٥,٥	٢١,٢	٢٩,٩	٣٨,٢	C = ٠,٥	
٦٦,١	٣٦,٩	٣٨,١	٥٢,٨	٦٩,٥	C = ٠,٩	Fq = ٠,٩٥
٧٥,٥	٦٢,٧	٦٢,٥	٦٤,٨	٦٢,٨	Mallet - مالي - Gautier	
٤١,٨	٢٣,٣	٢٤,٥	٤٣,٥	٤٤,٩	C = ٠,٥	
٧٥,٣	٤٢,٥	٤٣,٤	٧٧,٤	٨١,٥	C = ٠,٩	Fq = ٠,٩٥
١٢٤,٥	١٠٢,٦	١٠٧,٩	١١٢,٥	١٠٨,٢	Turazzal Mallet - مالي - Gautier	
٤٨,٤	٢٧,١	٢٨,٥	٦١,٥	٥٢,٩	C = ٠,٥	
٨٧,٢	٤٨,٧	٥٥,٣	١٠٩,٩	٩٧,٥	C = ٠,٩	Fq = ٠,٩٨
١٨٨,٥	١٥٤,٤	١٦٨,٢	١٧٤,٥	١٦٦,٩	Mallet - مالي - Gautier	
٥٢,٤	٢٩,٨	٣٥,٨	٨٥,٥	٦٥,٦	C = ٠,٥	
٩٦,١	٥٢,٧	٥٥,٤	١٥٢,٥	١٠٩,١	C = ٠,٩	Fq = ٠,٩٩
٢٣٧,٢	١٩٣,٦	٢١٣,٨	٢٢١,٨	٢١١,٣	Mallet - مالي - Gautier	

المصدر: عمل الباحث.

الشكل ١٩ : التغيرات المكانية لمعامل قوة الفيضان "A" (نموذج مالي-قوتيه Mallet-Gautier)



١- حوض وادي بومرزوق ٢- حوض وادي الكبير النجاة ٣- حوض وادي الرمالي سقان
٤- حوض وادي الرمالي سمندو ٥- الحوض الجزئي السفلي
المصدر: عمل الباحث.

١٢- يتمثل التوزيع المكاني لقوة الفيضانات المحسوبة بنموذج مالي-قوتيه لفترات الرجوع من ٥ إلى ١٠ سنوات بحوض وادي الرمالي سمندو (الشكل ١٩ أ والشكل ١٩ ب) مع قوة فيضانات فترة الرجوع من ٥٠ إلى ١٠٠ سنة بحوض وادي الرمالي سقان (الشكل ١٩ د). ويرجع هذا التماثل في التوزيع المكاني لمعامل قوة الفيضان إلى ارتفاع كمية الصيب اليومي الأقصى مع كبر

مساحة التصريف لحوض وادي الرمال سقان مقارنة مع انخفاض كمية الصيب اليومي الأقصى مع صغر مساحة التصريف لحوض وادي الرمال سمندو.

١٣- يبلغ معامل الارتباط على مستوى الحوض الهيدروغرافي لوادي الكبير الرمال أقصاه بما يعادل ٠,٩٨٣٨ عند مستوى الدلالة ٩٩,٩٪ بين معامل قوة الفيضانات "A" والصيب اليومي الأقصى المحسوب بنموذج مالي - قوته في حين لا يتعدى معامل الارتباط ٠,٧٤٠٧ عند مستوى الدلالة ٩٩,٩٪ بين معامل قوة الفيضان وكمية الأمطار اليومية القصوى المناسبة لزمن التركيز (الجدول ١٣).

مقارنة الصيب النوعي اليومي الأقصى المحسوب والصيب النوعي اليومي الأقصى المقاس.

تركز المقارنة بين القيم المحسوبة والقيم المقاسة لصيب الفيضانات على التوزيع المكاني للجريان السطحي النوعي لفيضان ٢٥ سبتمبر ١٩٧٣ م، وفيضان ١٥ أبريل ١٩٧٩ م، (الشكل ٢٠ أ) و(الشكل ٢٠ ب) من جهة، والتوزيع المكاني للجريان السطحي النوعي المحسوب لمختلف فترات الرجوع بنموذجي توراذا ومالي - قوته وكذلك التوزيع المكاني لمعامل قوة الفيضان المحسوب بنموذج كوطاني Coutagne من جهة ثانية.

ومن خلال مقارنة التوزيع المكاني للمتغيرات المذكورة نجد أن التوزيع المكاني للصيب النوعي اليومي الأقصى لفيضان ٢٥ سبتمبر ١٩٧٣ م، ولفيضان ١٥ أبريل ١٩٧٩ م يتماثل مع :

جدول ١٣ : قيم معامل الارتباط بين معامل قوة الفيضانات "A" والمتغيرات الهيدروولوجية بالحوض المائي لوادي الكبير الرمال

معامل الارتباط r	t	معامل الارتباط r	معامل التفسير R ²	النموذج	معامل Y	متغير X
$Y = 1E-04X^2 + 0,2899X + 6,9128$	٨,٦٠	٠,٨٧٣٤	٠,٧٦٢٩	تورازا	معامل	امتطار يومية قصوى
$Y = 2E-04X^2 + 0,5232X + 8,7724$	٨,٥٨	٠,٨٧٣٣	٠,٧٦٢٨	تورازا مالي- قوتيه -Gautier	معامل	قوة الفيضان "A"
$Y = 0,00124 X^2 + 4,47 X - 142,7$	٥,٧٩	٠,٧٧٠٦	٠,٥٩٣٩	تورازا مالي- قوتيه -Gautier	معامل	P _{imax} (mm)
$Y = 8E-04X^2 + 0,2721X + 10,157$	٦,٣٥	٠,٨٠٤٧	٠,٦٤٧٧	تورازا	معامل	امتطار يومية قصوى مناسبة لزمن التركيز
$Y = 8E-04X^2 + 0,4923X + 18,226$	٦,٣٥	٠,٨٠٤٦	٠,٦٤٧٧	تورازا مالي- قوتيه -Gautier	معامل	قوة الفيضان "A"
$Y = 0,00116 X^2 + 2,971X - 114,34$	٥,٢٩	٠,٧٤٠٩	٠,٥٤٩٠	تورازا	معامل	P _{tc} (mm)
$Y = 1E-04X^2 + 0,2899X + 12,405$	٥,٢٨	٠,٧٤٠٧	٠,٥٤٨٧	تورازا	معامل	حجم الفيضان
$Y = 4E-05X^2 + 0,2721X + 27,053$	٥,٤٧	٠,٧٥٢٠	٠,٥٦٥٦	تورازا مالي- قوتيه -Gautier	معامل	Ve (Hm ²)
$Y = 1,8449 X^{0,7981}$	٨,١٠	٠,٨٦٠٧	٠,٧٤٠٩	تورازا	معامل	الصيب اليومي الأقصى
$Y = 1E-06X^2 + 0,2450X + 2,0518$	٢٣,٩٠	٠,٩٨٠٤	٠,٩٦١٣	تورازا	معامل	الصيب اليومي الأقصى
$Y = 1E-07X^2 + 0,0246X + 2,1222$	٢٣,٩٠	٠,٩٨٠٤	٠,٩٦١٣	تورازا مالي- قوتيه -Gautier	معامل	قوة الفيضان "A"
$Y = 0,00227 X^{0,116}$	٢٦,٢٢	٠,٩٨٢٨	٠,٩٦٧٩	تورازا	معامل	Q _{jmax} (m ³ /s)
$Y = 1E-05X^2 + 0,016X + 10,244$	١٧,٤٧	٠,٩٦٤٣	٠,٩٣٠٠	تورازا	معامل	الصيب اليومي الأقصى
$Y = 8E-06X^2 + 0,0131X + 20,231$	١٧,٠٣	٠,٩٦٢٦	٠,٩٢٦٦	تورازا مالي- قوتيه -Gautier	معامل	قوة الفيضان "A"
$Y = 0,000517 X^{0,1700}$	٢٦,١٦	٠,٩٨٣٦	٠,٩٦٧٥	تورازا	معامل	Q (l/s/km ²)

المصدر: عمل الباحث.

التوزيع المكاني للصيب النوعي اليومي الأقصى لفيضانات فترات الرجوع الممتدة من ٥ إلى ٢٠ سنة بمعامل جريان ٠,٥ و لفيضانات فترات الرجوع الممتدة من ٥ إلى ٥٠ سنة بمعامل جريان ٠,٩ بالنسبة لنموذج تورازا ومع التوزيع المكاني للصيب النوعي اليومي الأقصى لفيضانات فترات الرجوع الممتدة من ١٠ إلى ١٠٠ سنة بالنسبة لنموذج مالي - قوته بالحوض الجزئي السفلي.

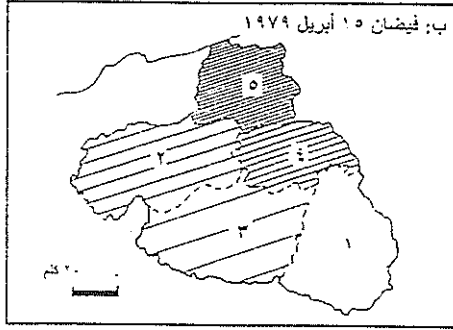
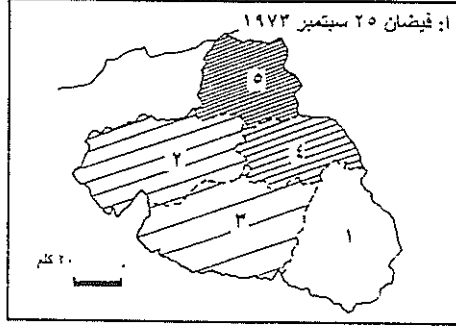
التوزيع المكاني للصيب النوعي اليومي الأقصى لفيضانات فترات الرجوع الممتدة من ٢٠ إلى ١٠٠ سنة بمعامل جريان ٠,٥ و فيضان فترة الرجوع ١٠ سنوات بمعامل جريان ٠,٩ بالنسبة لنموذج تورازا بمحوض وادي الرمال سمندو.

التوزيع المكاني للصيب النوعي اليومي الأقصى لفيضان فترة الرجوع ٥٠ سنة بمعامل جريان ٠,٩ بالنسبة لنموذج تورازا بمحوض وادي الكبير النجاة.

التوزيع المكاني لمعامل قوة الفيضان "A" لفيضانات فترة الرجوع ٢٠ سنة بمعامل جريان ٠,٥ و ٠,٩ بالنسبة لنموذج تورازا و لفيضانات فترات الرجوع الممتدة من ٢٠ إلى ١٠٠ سنة بالنسبة لنموذج مالي - قوته بمحوض وادي الكبير النجاة.

التوزيع المكاني لمعامل قوة الفيضان "A" لفيضانات فترة الرجوع من ١٠ إلى ١٠٠ سنة بالنسبة لنموذج مالي - قوته بالحوض الجزئي السفلي.

الشكل ٢٠ : التغيرات المكانية للصبيب النوعي اليومي
الأقصى المقاس خلال فترات الفيضانات



- ١- حوض وادي بومرزوق ٢- حوض وادي الكبير الشجاة ٣- حوض وادي الرمال سفان
٤- حوض وادي الرمال سمندو ٥- الحوض الجزئي المنقلي

المصدر: عمل الباحث.

الخلاصة:

لقد أبرزت هذه الدراسة جملة من التباينات المكانية لتوزيع الأمطار بحيث

نجد:

أ- أنّ هناك تبايناً واضحاً بين الأحواض الجزئية لوادي الرمال سقان ووادي بومرزوق جنوباً من جهة والأحواض الجزئية لوادي الرمال سمنندو والحوض الجزئي السفلي ووادي الكبير النجاة من جهة ثانية بحيث يصل الفارق بين كميات الأمطار القصوى فيها إلى ما يعادل ضعفيها.

ب- وأنّ هناك تبايناً واضحاً كذلك على مستوى التغيرات المكانية لمعدل الأمطار السنوي بين الأحواض الجزئية المذكورة بحيث يصل الفارق بين معدلات الأمطار السنوية إلى ما يعادل ثلاث مرات بين الشمال والجنوب و إلى ما يعادل ٢,٩ مرة بين الشرق والغرب.

أما من حيث التباينات المكانية للصيب اليومي الأقصى فنجد أن قيم الصيب اليومي الأقصى المحسوب بنموذج تورازا تتقارب من قيم الصيب اليومي الأقصى المقاس خلال فيضانات يوم ٢٩ نوفمبر ١٩٦٧م ويوم ١٦ أبريل ١٩٧٩م خاصة بالأحواض الجزئية لوادي الرمال سقان ووادي الرمال سمنندو والحوض الجزئي السفلي نظراً لأن هناك ارتباطاً واضحاً بين قيم الصيب اليومي الأقصى المحسوبة بنموذج تورازا من جهة وقيم الأمطار اليومية القصوى وقيم الأمطار اليومية القصوى المناسبة لزمّن التركيز ومعامل الجريان من جهة ثانية في حين تفوق قيم الصيب اليومي الأقصى المحسوب بنموذج مالي - قوته والمناسبة لفترات الرجوع الممتدة من ١٠ إلى ١٠٠ سنة جميع قيم الصيب اليومي الأقصى المحسوب

بنموذج تورازا مما يدل على ملاءمة نموذج تورازا أكثر من نموذج مالي - قوته في تقدير الصيب اليومي الأقصى بالأحواض الجزئية المدروسة. ولذا فإن عدد قيم الصيب اليومي الأقصى المتماثلة بين النموذجين المذكورين وبين الأحواض الجزئية لم يتعد ١١ قيمة من مجموع ١٢٥ قيمة محسوبة بنموذج تورازا و ٢٥ قيمة محسوبة بنموذج مالي - قوته لفترات الرجوع التي تمتد من ٥ إلى ١٠٠ سنة.

أما على مستوى حوض وادي الرمال الكبير فإن قيم الصيب اليومي الأقصى المحسوبة بنموذج بوسنتي تناسب مع نظيراتها المحسوبة بنموذج تورازا بينما تفوق قيم الصيب اليومي الأقصى المحسوبة بنموذج مالي - قوته كل نظيراتها المحسوبة بالنموذجين السابقين مما يدل على ملاءمة نموذجي تورازا وبوسنتي في تقدير الصيب اليومي الأقصى على مستوى حوض وادي الكبير الرمال.

ولقد انعكست هذه التباينات المكانية للصيب اليومي الأقصى على كميات المياه المصروفة خلال فترات الفيضانات بحيث نجد أن هناك تبايناً واضحاً بين حجم الفيضانات الذي يرتبط على مستوى الأحواض الجزئية في تغيراته المكانية بالتغيرات المكانية للصيب اليومي الأقصى أكثر من ارتباطه بالتغيرات المكانية لكل من الأمطار اليومية القصوى والأمطار اليومية القصوى المناسبة لزمنا التركيز بالنسبة لنموذجي تورازا وبوسنتي بحيث نجد:

أ- أن معامل الارتباط بين الأمطار اليومية القصوى وحجم الفيضانات المحسوب بنموذج مالي - قوته يفوق مثيله المحسوب بنموذج تورازا على مستوى الأحواض الجزئية.

ب- أن معامل الارتباط بين الأمطار اليومية القصوى والصيب اليومي الأقصى للفيضانات المحسوب بنموذج مالي - قوته يفوق مثيله المحسوب بنموذج تورازا على مستوى الأحواض الجزئية.

ج- أن معامل الارتباط بين الأمطار اليومية القصوى المناسبة لزمن التركيز والصيب اليومي الأقصى للفيضانات المحسوب بنموذج مالي - قوته يفوق مثيله المحسوب بنموذج تورازا على مستوى الأحواض الجزئية.

وترجع هذه التباينات إلى كون نموذج مالي - قوته يعتمد في تقديره للصيب اليومي الأقصى على كمية الأمطار السنوية التي تفوق بالضرورة كمية الأمطار اليومية القصوى المعتمدة في تقدير الصيب اليومي الأقصى بنموذجي تورازا ويوسنتي. ولقد انعكست هذه التباينات المكانية على التوزيع المكاني أيضا لمعامل قوة الفيضان بحيث نجد :

أ- أن عدد قيم معامل قوة الفيضانات "A" المتماثلة بين نموذجي مالي - قوته وتورازا لا تتعدى ٨ قيم من اصل ١٥٠ قيمة لتقدير الصيب اليومي الأقصى للفيضانات.

ب- أن معامل الارتباط بين قوة الفيضان "A" والصيب اليومي الأقصى المحسوب بنموذج مالي - قوته يفوق نظيره المحسوب بنموذج تورازا.

ج- أن معامل الارتباط بين الأمطار اليومية القصوى والأمطار اليومية القصوى المناسبة لزمن التركيز من جهة ومعامل قوة الفيضان "A" المحسوب بنموذج تورازا من جهة ثانية يفوق نظيره المحسوب بنموذج مالي - قوته.

د- أن معامل الارتباط بين الصيب اليومي الأقصى وحجم الفيضان والصيب النوعي اليومي الأقصى من جهة ومعامل قوة الفيضان "A" المحسوب بنموذج مالي - قوته من جهة ثانية يفوق نظيره المحسوب بنموذج تورازا.

أما من الناحية الهيدرولوجية فقد أظهرت هذه الدراسة :

إمكانية تقدير الصيب اليومي الأقصى للفيضانات اعتمادا على قياسات الأمطار اليومية القصوى التي تعتبر من أبسط القياسات بالمحطات المناخية للأحواض الهيدروغرافية.

إمكانية معايرة نتائج النماذج المستخدمة في عملية تقدير الصيب اليومي الأقصى للفيضانات بقياسات الصيب اليومي الأقصى المسجلة بالمحطات الهيدرومترية للحوض المائي لوادي الكبير الرمال.

إمكانية تصنيف الأحواض المائية الجزئية اعتمادا على نتائج النماذج المستخدمة في تقدير الصيب اليومي الأقصى للفيضانات لتحديد أكثرها عرضة لتأثيرات الفيضانات وأهمها من حيث حجم السيول والموارد المائية السطحية على مدى يتراوح بين 5 و 100 سنة.

إمكانية تطبيق نماذج التقدير المستخدمة في حساب التغيرات المكانية للصيب اليومي الأقصى للفيضانات على أي من الأحواض المائية التي تتوفر بها محطات قياس الأمطار أو محطات مناخية في حال غياب محطات هيدرومترية بالأودية خاصة خلال فترات السيول التي يصعب فيها أخذ القياسات الهيدرومترية بسهولة لحظورتها.

ولذا توصي هذه الدراسة بما يلي:

أ- تطبيق هذه النماذج على الأحواض المائية بالمملكة العربية السعودية نظرا لوجود قياسات يومية بالمحطات المناخية المتواجدة بمختلف المناطق منها خاصة مناطق عسير والسروات.

ب- معايرة هذه النماذج بقياسات حقلية للسيول بالأحواض المائية التي يتم اختيارها للدراسة خاصة تلك التي تعرف من موسم إلى آخر سيولا غزيرة كتلك التي حدثت بحوض وادي ضلع يومي ١٤/١/١٩٨٢ و ١٥/١/١٩٨٣.

ج- تعديل هذه النماذج بما يتناسب مع الظروف المناخية والتضاريسية لأحواض التصريف بالمملكة العربية السعودية.

د- الاستفادة من تطبيق هذه النماذج في التقديرات الهيدرولوجية لحجم السيول بالأحواض المائية المدروسة خاصة تلك التي تجري أوديتها بالمناطق السكانية على غرار وادي حنيفة بمنطقة الرياض.

هـ- الاستفادة من تطبيق هذه النماذج في التقديرات الهيدرولوجية لحجم الجريان السطحي بالأحواض المائية المدروسة وإيجاد حلول لإمكانية تصريفها أو تخزينها قبل تسربها أو تبخرها.

المراجع

المراجع العربية:

- بوروية، محمد فضيل، (١٩٩٩)، المدلول الجيومورفولوجي للمتغيرات المورفومترية بالحوض الهيدروغرافي لوادي الكبير الرمال (التل الشرقي)، سلسلة رسائل جغرافية، العدد ٢٢٩، الجمعية الجغرافية الكويتية، جامعة الكويت.
- الشركة الوطنية لنقل وتسويق المحروقات (Sonatrach) (١٩٧٧) الخريطة الجيولوجية، لوحة سطيف ، ١/٢٠٠٠٠٠، الجزائر.
- الشركة الوطنية لنقل وتسويق المحروقات (Sonatrach)، (١٩٧٧) الخريطة الجيولوجية، لوحة قسنطينة ، ١ / ٢٠٠٠٠٠، الجزائر.
- المعهد الوطني الجغرافي، الخريطة الطبوغرافية (١٩٦٠)، لوحة سطيف، ١/٢٠٠٠٠٠ ، باريس، فرنسا.
- المعهد الوطني الجغرافي، الخريطة الطبوغرافية (١٩٦٠)، لوحة قسنطينة، ١/٢٠٠٠٠٠، باريس، فرنسا.
- المعهد الوطني للموارد المائية، سلسلة الفترة من ايناير ١٩٦١ إلى ٣١ ديسمبر ٢٠٠١، حوليات الأمطار للجزائر، بئر مراد رايس، الجزائر.

المراجع غير العربية:

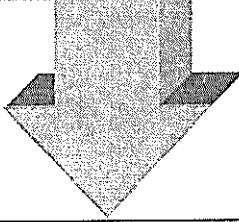
- Bensâad.A,(1992), "**Besoins et Disponibilités en eau en Algérie: éléments pour un budget de l'eau**" Méditerranée, n° 3-4, pp 5-13.
- Body. K & Savary.I, (1985), **Analyse Fréquentielle des Pluies de l'Algérie**, Synthèse Régionale, Institut National des Ressources Hydrauliques, Service Hydrologique, Antenne de Constantine.
- Chow.V.T,(1964), **Handbook of Applied Hydrology**, Mc Graw-Hill book Company, New-York.
- Chow, V. T., et al, (1964), **Applied Hydrology**, Mc Graw-Hill Book Company, Singapour.
- Cote, M, (1987), **Les Régions Bioclimatiques de l'Est Algérien**, Note non Publiée, Institut de Géographie d'Aix-Marseille II, France.
- Dubreuil, P., (1974), **Initiation à l'analyse Hydrologique**, Paris, Masson, ORSTOM, France.
- Emberger.L.,(1955), **Une Classification Biogéographique des climats**, Recueil des Trav. Labo. Botan. Zool. Géol., Faculté des Sciences, Montpellier, no 7, pp 3-43.
- Gaussen, H., & Bagnouls, M., (1948), **Carte des Précipitations de l'Algérie au 1/500000°**, 4 Feuilles, Paris, Institut de Géographie National, France.
- Gloor, R., (1978), **Relations pluie-débit**, Recueil des Principales Méthodes Utilisées, Publication Interne de l'institut du Génie Rural (EPLF), Lausanne , Suisse.
- INRE (EX DEMRH)., (1980), **Etude Hydrologique pour un Projet de Barrage sur l'Oued Djendjen**, étude non publiée, Alger.

- Jaton, J.F., (1980), **Hydrologie de Surface**, 1^{ère} Partie, Ecoulement de Surface et Débits de Crues, Publication Interne de l'Institut du Génie Rural (EPLF), Lausanne, Suisse.
- Laborde, J.P., (1979), **Eléments d'Hydrologie de Surface**, Cours ENSGAPN, Institut National Polytechnique, Lorraine, Nancy, France.
- Mébarki, A., (1982), **Le Bassin du Kébir-Rhumel: Hydrologie de Surface et Aménagement des Ressources en eau**, Thèse de Doctorat de 3^{ème} Cycle, Univers, de Nancy II.
- Pardé, M., (1968), **Fleuves et Rivières**, Paris, Armand Collin, Collection U2, 5^{ème} édition, France.
- Raghumath, H. M., (1991), **Hydrology: Principles, Analysis and Design**, Wiley Eastern Ltd, New-Delhi.
- Réméniéras, G., (1980), **Hydrologie de l'Ingénieur**, Paris, Eyrolles, 2^{ème} édition, France.
- Roche, M., (1963), **Hydrologie de Surface**, Paris, Gauthiers-Villars, France.

صفحة الإعلانات

عززي — عزي

الباحث وصاحب العمل والمؤسسة
تتيح لك الجمعية الجغرافية السعودية
فرصة التعريف بإنتاجك العلمي
وأجهزتك ومؤسستك وبرامجك التي
يمكن أن تخدم الجغرافيين والجغرافيا.



أسعار الإعلانات

صفحة كاملة بمبلغ ١٠٠٠ ريال سعودي

نصف صفحة بمبلغ ٥٠٠ ريال سعودي

ربع صفحة ٢٥٠ ريال سعودي

آخر إصدارات سلسلة بحوث جغرافية

- ٢٨- خصائص تربة الكتبان الرملية ومدى ملائمتها للزراعة الجافة في واحة الأحساء بالمملكة العربية السعودية
- ٢٩- جغرافية التجارة الخارجية للمملكة العربية السعودية
- ٣٠ - أهمية الأطلس المدرسي في تدريس مادة الجغرافيا في مراحل التعليم العام.
- ٣١- العلاقات المكانية والزمنية للأسواق الأسيوية وخصائصها الجغرافية في واحة الأحساء بالمملكة العربية السعودية.
- ٣٢- المسح الميداني الإلكتروني باستخدام تقنية تحديد المواقع ونظام الربط الأرضي الجرائدي - GPS-GEOLINK
- ٣٣- تقويم الوضع الإيكولوجي الزراعي في منطقة وادي المياه بالملكة العربية السعودية.
- ٣٤- التحليل الإحصائي المتعدد المتغيرات لخصائص أحجام حبيبات الكتبان الرملية الهلالية بنفوذ الثورات؛ دراسة حالة في محافظة الطاهر.
- ٣٥- الأسواق الدورية في منطقة حازان : دراسة تحليلية عن التنظيم المكاني والدور الاقتصادي.
- ٣٦- أثر استخدام المياه الجوفية على التربة وإنتاجية بعض المحاصيل الزراعية بمنطقة ترواك.
- ٣٧- التوزيع المكاني للسكان والنسبة في المملكة العربية السعودية في ١٣٩٤-١٤١٣هـ
- ٣٨- الأودية العاصلة إلى منطقة الحرم بالمدينة المنورة
- ٣٩- مواقع المدارس وسبل رفع مستوى سلامة التلاميذ المرورية في مدينة الرياض
- ٤٠- تردد الرياح الشمالية وتابعها في المملكة العربية السعودية
- ٤١- القوى العاملة في المملكة العربية السعودية : أعادها الديموقراطية والاقتصادية والاجتماعية
- ٤٢- خصائص السياح بمنطقة عسير وأهميتها للتخطيط والاستثمار السياحي
- ٤٣- تطور إنتاج خراطم المملكة العربية السعودية نصف قرن في دعم التنمية والتخطيط .
- ٤٤- تغيرات الحمولة الصلبة وعلاقتها بالأمطار والجريان السطحي بالمحوض الهيدروغرافي لوادي الكبير الرمال (التل السنطين لجزائر)
- ٤٥- نمذجة التحليل المورفومتري لشعب نساح
- ٤٦- مورفولوجية كورسنتات هضبة نجد: دراسة تطبيقية على حال الوطاة.
- ٤٧- الاتصال المناخي السطحي بين المملكة العربية السعودية ونصف الكرة الشمالي.
- ٤٨- دور حطط التنمية في معالجة قضية التوازن الإقليمي في المملكة العربية السعودية؛ دراسة تقويمية لتحرمة النسبة الإقليمية ما بين عامي ١٣٩٠-١٤١٥هـ.
- ٤٩- تطور التوزيع الجغرافي لمرض السل وانتشاره في العالم.
- ٥٠- العلاقة بين كميات الأمطار وارتفاع الماء الجوفي في حوض وادي شيرة بالملكة العربية السعودية.
- ٥١- الصناعات الصغيرة في المملكة العربية السعودية.
- ٥٢- أوجه التشبه والاختلاف وأفاق التكامل التقني والمنتهي بين المساحة التصويرية والاستشعار عن بعد.
- ٥٣- الخصائص المورفومترية لحوض وادي عركان ووادي بيث بالملكة العربية السعودية: دراسة تطبيقية مقارنة.
- ٥٤- التباين الإقليمي لتطور الصناعات الغذائية في المملكة العربية السعودية (١٣٧٣-١٤١٧هـ) تحليل حفراني
- ٥٥- التوزيع الجغرافي للخدمات الصحية بمنطقة مكة المكرمة.
- ٥٦- التركيب المحسوبي للمنزل وأهميته على التوطن الزراعي بمنطقة مكة المكرمة.
- ٥٧- شاكاة أثر تراكم أخطأه الخراطم الطبوغرافية بتمتاس ١: ٥٠٠٠٠ على التحليل في نظم المعلومات الجغرافية.
- ٥٨- نظم المعلومات الجغرافية والتفصيل الموضوعي لخراطم المتغيرات الإيكولوجية الزراعية والرورية في المملكة العربية السعودية.
- ٥٩- أهمية شبكات الطرق في التنمية السياحية لشاطئ العقير بالمنطقة الشرقية من المملكة العربية السعودية.
- ٦٠- معايير التنمية الاقتصادية في المملكة العربية السعودية: دراسة حفرافية مقارنة
- ٦١- دراسة تحليلية لتطور الرادار الروسي (المأازم) المأخوذة لمدينة الرياض
- ٦٢- مساهمة الإناث السعوديات في قوة العمل
- ٦٣- الرياح السائدة المساهمة للمناخية للأقطار على منطقة أما في المملكة العربية السعودية
- ٦٤- أثر الخفاف على توزيع الغطاء النباتي في حوض فرى العرصة (أحد روافد وادي الطونجي) منطقة الرياض
- ٦٥- فاعلية مؤشرات عدم الاستقرار الجوي الرياضية للموصل ١٨ في وسط المملكة العربية السعودية
- ٦٦- البطالة في المملكة العربية السعودية : أعادها المكانية وملائمتها الديموقرافية والاجتماعية
- ٦٧- آراء السياح في منطقة عسير تجاه استخدام الخراطم السياحية : دراسة استطلاعية في عفاظني أما والنصا
- ٦٨- استخدام المواقع المتعددة الأدوار في وسط مدينة الرياض
- ٦٩- النظرة الجغرافية في تخطيط المدينة الصحراوية
- ٧٠- أهم خصائص رحلي العمل والتعليم لنسوي سامعة الملك سعود بمدينة الرياض
- ٧١- استخدام صور الاستشعار عن بعد الرقسية عالية الوضوح المكاني لتحديد امتداد فيضانات السبول في سهل الخرج
- ٧٢- مستوى المحافظة على نظافة حوزانات المياه التردية في مدينة الرياض وأثر خصائص السكان فيها

Price Listing Per Copy :
S.R. ١٠ : Individuals
S.R. ١٥ : Institutions

Mailing Charges are added on the above listing&Handing

أسعار البيع :

سعر السكفة الواحدة للأعضاء : ١٠ ريالاً سعودي.
سعر السكفة الواحدة للطلاب : ١٥ ريالاً سعودي .

تضاف إلى هذه الأسعار أسرة البريد .

عزيزي عضو الجمعية الجغرافية السعودية	
هل غيرت عنوانك؟ فضلاً أماً الاستمارة المرفقة وأرسلها على عنوان الجمعية	
	الاسم:
	العنوان:
	ص ب: المدينة والرمز البريدي:
	البلد:
الاتصالات الهاتفية:	
	عمل:
	منزل:
	جوال:
	بيجر:
	بريد إلكتروني:
<p>ترسل على العنوان التالي:</p> <p>الجمعية الجغرافية السعودية</p> <p>ص ب ٢٤٥٦ الرياض ١١٤٥١</p> <p>المملكة العربية السعودية</p> <p>هاتف: +٩٦٦ ١ ٤٦٧٨٧٩٨ فاكس: +٩٦٦ ١ ٤٦٧٧٧٣٢</p> <p>بريد إلكتروني: sgs@ksu.edu.sa</p> <p>كما يمكنكم زيارة موقع الجمعية على الإنترنت على العنوان التالي:</p> <p>www.saudigs.org</p>	

The study has shown the spatial variations of the daily maximum floods and the volume and velocity of the floods. The study has also shown the possibility of applying the Turazza and Mallet-Gautier models because of the small differences between their estimates in comparison to the measured daily maximum runoff particularly in the level of partial basins. As for the whole Wadi Kébir Rhumel drainage basin, the Possenti model and the Turazza model can be used because the little differences between their estimates and the measured daily maximum runoff.

**Estimation of the Maximum Daily floods in the
Wadi Kébir Rhumel drainage basin
(Oriental Tell - Algeria)**

Dr. Mohamed F. Bourouba

Abstract:

The aim of this study is to estimate the maximum Daily floods in the Wadi Kébir Rhumel drainage basin (Oriental Tell - Algeria). The basin covers an area of about 8815 km². The estimation uses the daily maximum rainfall data recorded in 21 stations during the period from 1/1/1961-31/12/2001.

The study presents three models/methods to estimate the maximum daily flood-runoff which include:

- 1- The Turazza model which used to:
 - a- Estimate the daily maximum floods at the level of drainage sub-basins.
 - b- To estimate the daily maximum floods suitable to runoff coefficient 0.5, 0.6, 0.7, 0.8 and 0.9.
- 2- Mallet-Gautier model for the estimation of the daily maximum floods for return periods 2 years, 5years, 10 years , 50 years and 100 years based on annual rainfall data from partial basins.
- 3- Possenti model to estimate the daily maximum floods in all Wadi Kébir Rhumel drainage basin.

● **Administrative Board of the Saudi Geographical Society** ●

Mohammed S. Makki	Prof.	Chairman.
Mohammed S. Al-Rebdi	Assoc. Prof	Vice-Chairman.
Abdulah H. Al-Solai	Assoc. Prof.	Secretary General.
Mohammed A. Al-Fadhel	Assoc. Prof.	Treasurer.
Mohammed A. Meshkhes	Assoc. Prof.	Head of Research and Studies Unit
Anbara kh. Belal	Assis. Prof.	Editor of Geographical Newsletter
Ali M. Alareshi	Prof.	Member.
Meraj N. Merza	Assis. Prof.	Member
Mohammed A. Al-Rashed	Mr.	Member.

RESEARCH PAPERS IN GEOGRAPHY

PERIODICAL REFEREED PAPERS PUBLISHED BY SAUDI GEOGRAPHICAL SOCIETY

73

Estimation of the Maximum Daily Floods in the Wadi Kebir Rhumel Drainage Basin (Oriental Tell-Algeria)

Dr.Mohamed F.Bourouba

**King Saud University - Riyadh
Kingdom of Saudi Arabia
1426 A.H. - 2005 A.D.**